

10 de abril de 2026

Asunto: Determinación del Comité de Reacción Mensual sobre los Límites del Área de Reacción del Vertedero de Chiquita Canyon - Castaic, California

Estimado Sr. Chen:

Conforme a las Condiciones No. 9a y 9b de la Orden de Depuración Estipulada Modificada (SOFA) en relación al Vertedero de Chiquita Canyon (el Vertedero o el Centro) (Caso No. 6177-4), el Comité de Reacción revisó los nuevos datos adquiridos aplicables, registrados durante el mes de marzo de 2026, consideró las revisiones del alcance estimado de las condiciones del vertedero de temperaturas elevadas (ETLF) en el Centro de referencia (denominados límites del "Área de Reacción"), y ha elaborado esta determinación sobre potencialmente revisar el mapa del Área de Reacción.

El Adjunto A presenta el Plano con el título "Mapa del Área de Reacción", preparado por SCS Engineers (SCS) con fecha 8 de abril de 2026. El Plano muestra el límite del Área de Reacción como se indica en la Condición No. 9a que corresponde a los límites de las Celdas 1/2A, 2B/3, 4, y al Módulo 2B/3/4 P2, como línea negra sólida. El Plano también muestra el alcance estimado de las condiciones de ETLF experimentadas en el sitio en base a la revisión de los datos científicos del Comité de Reacción como línea de puntos magenta. El fundamento que sirve como base para considerar ajustes y modificaciones en el límite del Área de Reacción (o la determinación de mantener el límite decretado), incluye lo siguiente:

- Temperaturas del cabezal del pozo de Biogás (LFG) que exceden aproximadamente los 160 grados Fahrenheit.
- Mala calidad del gas (definido como niveles de metano inferiores al 30 por ciento) junto con proporciones de metano-dióxido de carbono ($\text{CH}_4:\text{CO}_2$) ratios inferiores a 1.0.
- La concentración de hidrógeno (H_2) en el LFG que mide más del 2 por ciento por volumen.
- La concentración de monóxido de carbono (CO) en el LFG que mide más del 2,000 ppm.
- Asentamiento acelerado de la superficie del vertedero, definida como aproximadamente 18 pulgadas o más dentro de un período de 60 días y grietas en la cubierta del vertedero. Esto corresponde a un índice de un valor de tensión (es decir, un índice de asentamiento) del 3 por ciento por año para zonas con profundidad de columnas de desechos de 300 pies, que creemos que es una profundidad promedio razonable en el tema de interés.
- Observaciones de primera mano del Vertedero y/o del personal de campo de ingeniería, construcción y operaciones y mantenimiento (O&M) de SCS que está en el sitio. 1) exceso atípico de cantidades de lixiviados (presencia y cantidad de líquidos); 2) instancias de líquidos presurizados que salen de la superficie del vertedero, de pozos durante la perforación y de pozos de LFG; y 3) las características de los olores que se originan en áreas selectas de la huella de desechos (generalmente



descritos como "parecidos a productos químicos" y diferentes a los olores típicos del LFG y a los de los trabajos del vertedero).

- Observaciones de condiciones y características de los desechos de la subsuperficie como se indican en los registros de perforación del pozo para nuevos pozos y/o sondas, recién instalados.
- Temperaturas de la subsuperficie registradas en las sondas de temperatura de desechos in-situ durante marzo de 2026.
- Temperatura del gas o de los líquidos medida en profundidad dentro del tubo elevador del pozo de LFG (utilizando un transmisor automatizado o instrumentación de campo manual).
- Temperatura y presiones en la subsuperficie asociadas a las actividades de perforaciones para los nuevos pozos de extracción de gas durante marzo de 2026, si corresponde.

CONSIDERACIONES DE POTENCIALES AJUSTES AL ALCANCE ESTIMADO DE LAS CONDICIONES DEL ETLF (LÍNEA DE PUNTOS MAGENTA)

Al realizar sus determinaciones mensuales, el Comité de la Reacción evalúa los parámetros del set de datos arriba indicados, junto con otro más, para identificar tendencias significativas que indiquen condiciones de ETLF, en lugar de fluctuaciones exhibidas en puntos de datos aislados.

Cada mes, el Comité de la Reacción examina áreas particulares del Vertedero que previamente exhibieron datos anormales o fluctuantes, cuando aplica. Como se trata a continuación, a pesar de varianzas menores en áreas discretas del vertedero, el Comité de la Reacción no ha discernido ninguna tendencia significativa con respecto a los datos de marzo de 2026 que indiquen que la reacción se ha expandido a estas áreas.

Cerca de CV-2344 y CV-2346

El pozo CV-2344 está posicionado dentro de los 100 pies, aproximadamente del límite dirigido por datos, delineado. Este pozo registró temperaturas en la boca del pozo de LFG en el rango de 139 a 170 grados F durante marzo y la temperatura más alta estuvo relacionada con un mayor vacío aplicado. La calidad del LFG en CV-2344 fue variable, con concentraciones de metano de entre un 0.4 y un 16 por ciento durante marzo. Las temperaturas y la concentración de metano en este pozo han fluctuado de alguna manera entre eventos en los últimos varios meses. La concentración de H₂ medida durante marzo fue de 8.4 por ciento, que se redujo en comparación al mes anterior. Este pozo está posicionado inmediatamente contiguo a un colector horizontal que se extiende al sur de la zona reactiva dirigida por datos (posicionado a una elevación de 1,278 pies). Las temperaturas máximas registradas de los desechos in situ en TP-05 cercana durante marzo fueron inferiores a 167 grados F, que ocurrieron en la termocupla a 45 pies. Los dos pozos contiguos, CV-2345 y CV-24066, exhibieron temperaturas promedio en la boca del pozo de LFG de 117 grados F y una concentración de metano promedio de un 22 por ciento durante marzo.

El pozo CV-2346 está posicionado aproximadamente 100 pies al sur de CV-2344. Este pozo exhibió un abrupto aumento de 35 grados F en la temperatura entre mediados de enero y mediados de febrero y registró temperaturas de entre 170 y 186 grados F en la boca de pozo durante marzo. La calidad del LFG en CV-2346 fue mala, con concentraciones de metano de menos del 5 por ciento durante marzo. La concentración de H₂ medida durante marzo fue de un 15 por ciento. El pozo tiene una bomba operativa y el

abrupto aumento en el calor puede atribuirse a actividades de desagote o estar asociado a su proximidad a un colector horizontal que se extiende hacia el sur de la zona reactiva dirigida por datos (posicionado a una elevación de 1,245 pies). Los dos pozos contiguos, CV-2345 y CV-2347, exhibieron temperaturas promedio en la boca del pozo de LFG de 115 grados F y una concentración de metano promedio de un 18 por ciento durante marzo. Estos dos pozos exhibieron concentraciones de hidrógeno relativamente bajas de un 3 y un 6 por ciento, respectivamente. Por consiguiente, el Comité de la Reacción estará monitoreando muy de cerca los futuros datos de este pozo, para determinar si estas tendencias continúan y en caso de ser así, si se atribuyen a actividades de desagote.

El Comité de la Reacción no cree que se justifique en este momento un ajuste en el límite de la Zona Reactiva que incluya las partes de la huella de desechos que incluya CV-2344 y CV-2346.

Subáreas Dentro del Límite de la Zona Reactiva Dirigido por los Datos

Como se exhibe en los mapas de rango de gradiente isotérmico que se incluyen como **Adjunto C** de este Informe de Determinación de Zona Reactiva mensual, las temperaturas de los cabezales de los pozos de LFG registradas cada mes demuestran varias subáreas dentro del límite dirigido por datos que exhiben consistentemente temperaturas sustancialmente más bajas que otros cabezales de pozos dentro de este límite. Una subárea está posicionada en la parte sur-central de la zona reactiva dirigida por datos y otra está posicionada en la parte central este de la zona reactiva dirigida por datos. Ambas subáreas contienen pozos que exhiben temperaturas que están por debajo de los 130 grados F. El Comité de la Reacción continúa revisando y analizando los datos registrados en los pozos dentro de estas subáreas para evaluar si varios parámetros operativos indican que la gravedad de la reacción se está reduciendo dentro de estas subáreas, como se evidencia con las temperaturas en disminución y el aumento de las relaciones de metano a dióxido de carbono y la reducción del contenido de H₂ en pozos selectos dentro de estas subáreas.

DATOS DE LAS SONDAS DE MONITOREO DE TEMPERATURA

El Comité de la Reacción revisó las mediciones de temperatura registradas durante marzo de 2026 utilizando las sondas de monitoreo de temperatura in-situ. A marzo de 2026, 11 de las 40 sondas (TP-2, TP-3, TP-9, TP-11, TP-15, TP-16, TP-18, TP-21, TP-22, TP-23 y TP-33) están dentro del límite de la zona reactiva dirigida por datos (línea de puntos magenta). De las 29 sondas restantes colocadas fuera de los límites, 9 sondas se encuentran ubicadas dentro de una proximidad relativamente cercana (dentro de los 200 pies) de este límite.

La termocupla a 125 pies en TP-8 se sacó de línea el 3 de marzo y TP-8 estuvo fuera de línea entre el 6 de marzo y el 9 de marzo para evaluación y mantenimiento. Al extraer las termocuplas, se descubrió que el revestimiento de TP-8 estaba dañado debido a un asentamiento diferencial que pasaba los 45 pies, de esta manera no permitiendo la reinserción de las termocuplas a los 100 pies, a los 125 pies y a los 150 pies. Las termocuplas a 15 pies, a 30 pies y a 45 pies se volvieron a activar e informaron mediciones de temperatura por el resto del mes.

Las temperaturas registradas en la termocupla a 150 pies dentro de TP-14 fueron estables, midiendo consistentemente 170 a 171 grados F, excepto para el 27 y 28 de marzo, durante las cuales los valores registrados fueron de 177 y 185 grados F, respectivamente y después las temperaturas regresaron abruptamente a 171 grados F por los otros tres días de marzo. Este abrupto aumento y posterior reducción inmediata a una profundidad de 150 pies es típico para la generación, acumulación y potencial movimiento del calor

dentro de una masa de desechos que experimenta una reacción en la superficie. Esto probablemente está asociado a una anomalía con algunos cambios en la salida de señal o en el mal funcionamiento de los equipos.

El Comité de la Reacción evaluó las temperaturas registradas en las 40 TMPs, con particular atención a las siguientes temperaturas máximas:

- TP-24: 204 grados F en el intervalo a los 265 pies;
- TP-25: 201 grados F en el intervalo a los 130 pies;
- TP-26: 178 grados F en el intervalo a los 150 pies;
- TP-29: 192 grados F en el intervalo a los 240 pies;
- TP-31: 193 grados F en el intervalo a los 180 pies; y
- TP-37: 184 grados F en el intervalo a los 180 pies.

Estas termocuplas registraron temperaturas relativamente consistentes en el período de seis semanas previo del 19 de febrero de 2026 al 1 de abril de 2026, excepto que TP-24 exhibió un aumento continuo de 201 a 204 grados F durante el mes de marzo y TP-29 midió 185 grados F durante todo el mes hasta que exhibió un repentino aumento de 7 grados a 192 grados F el 31 de marzo. Las temperaturas máximas registradas de los desechos durante marzo en termocuplas específicas en las seis TMPs identificadas arriba podrán no ser inusuales dentro de las zonas de desechos más profundas posicionadas entre 130 y 265 pies por debajo de la superficie del vertedero. Sin embargo, las temperaturas dentro de este rango podrían ser potencialmente un indicativo de generación y acumulación de calor asociado a condiciones de ETLF cuando hay también cambios en la composición del gas, producción excesiva de lixiviados, cambios en la composición de lixiviados, asentamiento acelerado, presiones excesivas y otras características de ETLF. Hubo una menor diferenciación entre las temperaturas máximas en 30 días en estas seis TMPs, comparadas con las temperaturas máximas en 30 días medidas en las 11 TMPs dentro del límite de la zona de la reacción dirigida por datos (línea de puntos magenta), excluyendo TP-2 que históricamente ha registrado temperaturas relativamente bajas.

Similar al análisis de datos de meses anteriores, los pozos de LFG alrededor de las seis TMPs identificadas arriba no demostraron evidencia que corrobore el calor o el impedimento de metanogénesis, como se indica a continuación:

- Los cuatro pozos que están alrededor de TP-24 (CV-24086, CV-24087, CV-24174 y CV-24175) registraron una temperatura promedio en el cabezal del pozo de LFG durante marzo de 114 grados F, que es muy por debajo del rango asociado a las condiciones de ETLF. Esos cuatro pozos también registraron una concentración de metano promedio de un 38 por ciento durante este período, que es consistente con producción de metano de biogás típica para estas Instalaciones. Estos valores son típicos de mediciones registradas en estos pozos en los últimos seis meses.
- El pozo CV-2319, que está inmediatamente al este de TP-25, registró una temperatura en la boca del pozo de LFG durante marzo de 141 grados F y la concentración de metano fue del 17 por ciento durante el mes, que es un aumento del 5 por ciento en febrero. TP-25 está justo por debajo del límite dirigido por datos y está demostrando calor atípico al nivel de los 130 pies, pero el pozo contiguo exhibe temperaturas consideradas normales para la descomposición anaeróbica de desechos enterrados.
- El pozo CV-24218 que está muy cerca de TP-26 registró una temperatura en el cabezal del pozo de LFG durante marzo de 129 grados F y una concentración de metano del 42 por ciento durante este período, que sugiere condiciones de descomposición normal de la subsuperficie asociada a la producción de metano. Estos valores son típicos de las mediciones registradas en este pozo en los últimos seis meses.

- Los tres pozos que rodean TP-29 (CV-24091, CV-24171 y CV-24207) registraron una temperatura promedio en el cabezal del pozo de LFG durante marzo de 105 grados F y una concentración de metano promedio del 54 por ciento durante este período, que sugiere condiciones de descomposición normal de la subsuperficie asociada a la producción de metano. Este valor de metano es típico de mediciones registradas en estos pozos en los últimos seis meses, pero la temperatura tanto en CV-24091 como en CV-207 experimentó una importante reducción durante marzo.
- Los dos pozos contiguos a TP-31 (CV-2319 y CV-24111) registraron una temperatura promedio en el cabezal del pozo de LFG durante marzo de 131 grados F, que es muy por debajo del rango asociado a las condiciones de ETLF. Mientras que la concentración promedio de metano en CV-2319 durante el último mes es del 17 por ciento, la concentración promedio de metano en CV-24111 durante el último mes fue del 41 por ciento, que sugiere condiciones de descomposición normal en la subsuperficie asociada a la producción de metano.
- El pozo contiguo a TP-37 (CV-24109) registró una temperatura de cabezal de pozo de LFG durante marzo de 77 grados F y una concentración de metano del 28 por ciento, que corresponden a un aumento importante en el vacío aplicado en este pozo y estos valores no son representativos de condiciones de ETLF.

Los pozos que están alrededor de estas seis TMPs no exhibieron evidencia de calor atípico o de la composición del LFG asociado a condiciones de ETLF.

Por lo tanto, el Comité de la Reacción no cree que se justifique en este momento un ajuste en el límite de la Zona Reactiva que incluya las partes de la huella de los desechos incluidas en TP-24, TP-25, TP-26, TP-29, TP-31 o TP-37.

CONCENTRACIONES DE HIDRÓGENO

El Comité de Reacción también evaluó la concentración de H₂ en el LFG durante marzo de 2026. Recordamos que ciertos pozos posicionados al sur este del límite de la Zona Reactiva (donde las bombas de desagote experimentaron algunas bajas de servicio debido a la instalación de las cubiertas de EVOH/HDPE y fueron reactivadas en subáreas selectas) habían demostrado periódicamente algún aumento en el contenido de H₂ en el LFG durante la revisión del Comité de Reacción de los datos de los meses anteriores, que fue un caso similar para los datos de marzo de 2026. El Comité de la Reacción notó en su revisión de los datos que estos pozos no exhibieron temperaturas elevadas, excepto en los pozos CV-2312, CV-2314, CV-2344, CV-2346, y CV-2550. Las condiciones en CV-2344 y CV-2346 se tratan arriba y las condiciones de CV-2312, CV-2314, y CV-2550 se tratan a continuación.

El pozo CV-2312 parece haber sido retirado de servicio a principios de octubre de 2025 y después se volvió a activar a mediados de febrero. No tiene una bomba de desagote. Aunque este pozo exhibió una temperatura promedio en la boca de LFG de 164 grados F, una concentración de metano promedio de solo el 2 por ciento y un contenido de hidrógeno del 15 por ciento durante marzo, estas condiciones son ocurrencias aisladas limitadas a un solo pozo y no están presentes en ningún otro pozo de los alrededores (CV-24151, CV-24152, CV-24155, CV-2544, y CV-2546). Además, las temperaturas de los desechos in situ en TMPs contiguas (TP-14 y TP-34) no fueron consistentes con las temperaturas elevadas medidas en otros lugares en el sitio donde hay reacción presente.

Aunque el Pozo CV-2314 exhibió una temperatura promedio en la boca de LFG de 161 grados F, una concentración de metano promedio de solo el 4 por ciento y un contenido de hidrógeno del 14 por ciento durante marzo, estas condiciones son ocurrencias aisladas como se trata a continuación. El pozo contiguo, CV-2550, parece haber sido retirado de servicio en septiembre de 2025 y después fue reactivado a fines de febrero, pero con poco a nada de vacío aplicado en el pozo, probablemente debido a las actividades de construcción de la tapa de geomembrana expuesta. No tiene una bomba de desagote. Aunque este pozo exhibió una temperatura promedio en la boca de LFG de 180 grados F, una concentración de metano promedio de solo el 6 por ciento y un contenido de hidrógeno del 12 por ciento durante marzo, estas condiciones pueden ser el resultado de acumulación de calor durante el corte prolongado. Estas condiciones son ocurrencias aisladas, limitadas a esos dos pozos y no están presentes en ningún otro pozo de alrededor (CV-24094, CV-24149, CV-2551, CV-2552, y CV-25106S/D). La temperatura promedio en la boca del pozo de LFG y el contenido de metano promedio en dos pozos contiguos, CV-2551 y CV-2552, son de 117 grados F y del 21 por ciento, que son inconsistentes con las características de ETLF y sugiere que las condiciones en CV-2550 no están presentes en zonas contiguas. La temperatura promedio en la boca del pozo de LFG y el contenido de metano promedio en los otros tres pozos contiguos, CV-24094, CV-24149 y CV-25106S/D, son de 119 grados F y del 33 por ciento, que son inconsistentes con las características de ETLF y demuestran que no están presentes las temperaturas moderadamente elevadas o la poca concentración de metano asociadas a CV-2314 en zonas contiguas.

Las temperaturas promedio no ofrecen evidencia del aumento de calor que es típico con condiciones de ETLF en los otros pozos, exhibiendo concentraciones de H₂ atípicas. Como se notó previamente, el Comité de la Reacción sospecha que este aumento en el contenido de H₂ podría atribuirse a los sustanciales desagotes que se están logrando en toda la Zona Reactiva y podría estar asociado al movimiento de gas desde adentro de la Zona Reactiva por los colectores horizontales cercanos existentes. Por lo tanto, la presencia de H₂ elevado en estos lugares aislados no sugiere que las condiciones de ETLF se estén expandiendo hacia el sur o hacia el este del límite delineado. Por lo tanto, el Comité de Reacción no cree que se justifique un ajuste en el límite de la Zona Reactiva en este momento.

CONCLUSIÓN


Como se presenta en el Plano incluido como **Adjunto A** el alcance estimado de las condiciones de ETLF (línea de puntos de color magenta) están completamente contenidas dentro del límite del Área de Reacción decretado en la SOFA (línea sólida negra) o coincide con ella a lo largo del límite este de la Celda 1/2A como se indicó previamente. Como las condiciones de ETLF están completamente contenidas dentro del límite del Área de Reacción y no experimentaron ninguna celda nueva, el Comité de Reacción no encuentra ninguna base para modificar el límite del Área de Reacción como se indica en la Condición 9a, en este momento.

No hubo ninguna opinión disidente entre los miembros del Comité de Reacción sobre esta determinación mensual. Los datos de respaldo se presentan en el Plano incluido como **Adjunto A**. Las mediciones de temperaturas máximas registradas en las 40 sondas de monitoreo de temperatura de los desechos in-situ (tanto valores de 7 Días como de 30 Días) durante marzo se presentan en el **Adjunto B** en formato gráfico. Las temperaturas en el cabezal de pozo de LFG registradas en los pozos de extracción en toda la huella del Vertedero se reflejan en el mapa de rango de gradiente isotérmica presentado como **Adjunto C**. Las relaciones de CH₄:CO₂ medidas en los cabezales de pozos de LFG en la vecindad del límite de la Zona Reactiva dirigida por datos se exhiben en el mapa de rangos presentado como **Adjunto D**. Las concentraciones de H₂ medidas en los cabezales de pozos de LFG en la vecindad del límite de la Zona Reactiva dirigida por datos se exhiben en el mapa de rangos presentado como **Adjunto E**. Las concentraciones de CO medidas en los cabezales de pozos de LFG en la vecindad del límite de la Zona Reactiva dirigida por datos se exhiben en el mapa de rangos

Sr. Baitong Chen
10 de abril de 2026
Página 7

presentado como **Adjunto F**. Los valores isopáquicos del asentamiento de la superficie del vertedero medidos trimestralmente (7 de enero de 2026 comparado con los del 25 de marzo de 2026) será del límite de la Zona Reactiva dirigida por datos se exhiben en el mapa de rangos como **Adjunto G**. La base de datos electrónica y la plataforma de registros permite que estas mediciones puedan descargarse en un formato de hoja de cálculo tabular, que puede ser presentado al Distrito de Gestión de la Calidad del Aire de la Costa Sur en una portada separada, si lo solicitan.

Por favor, comuníquese con el firmante si tiene preguntas o si necesita más información. Atentamente,



Robert E. Dick, PE, BCEE
Vicepresidente Sénior
SCS Engineers



Patrick S. Sullivan, BCES, CCP
Vicepresidente Sénior
SCS Engineers

RED/PSS

cc: Nathaniel Dickel, SCAQMD
Christina Ojeda, SCAQMD
Patrick S. Sullivan, REPA, CPP, BCES, SCS Engineers
Pablo Sánchez Soria, PhD, CIH, CTEH
Neal Bolton, PE, Blue Ridge Services, Inc.
Richard Pleus, PhD, Intertox
Srividhya Viswanathan, PE, SCS Engineers

Adjuntos:

Adjunto A - Mapa del Área de Reacción
Adjunto B - Datos de las Sondas de Monitoreo de Temperatura de los Desechos In-Situ
Adjunto C - Mapa de Distribución de Gradientes Isotérmicas
Adjunto D - Mapa de Distribución de Metano-Dióxido de Carbono del Cabezal del Pozo
Adjunto E - Mapa de Distribución de Hidrógeno en el Cabezal del Pozo
Adjunto F - Mapa de Distribución de Monóxido de Carbono del Cabezal del Pozo
Adjunto G - Mapa Isopáquico de Distribución de los Asentamientos

Solid Waste Borehole Maximum Temperature Profiles Over 6 Weeks for 2/19/2026 to 4/1/2026

From March 26, 2026, through April 1, 2026, there were two recorded temperature increases and three recorded temperature decreases that triggered the notification limits set forth in the LEA's October 4, 2024 letter.

Chiquita provides the following updates:

- TP-08
 - The 125-foot thermocouple went offline on March 3rd and TP-8 was offline between March 6th and March 9th for evaluation and maintenance. Upon removing the thermocouples, the casing for TP-08 was found to be damaged due to differential settlement beyond 45-feet, thus preventing the installation of the 100-foot, 125-foot, and 150-foot thermocouples. The 15-foot, 30-foot, and 45-foot thermocouples are active and reporting data.
- TP-13
 - The 15-foot thermocouple showed a decrease in maximum temperature of 10°F from 144°F to 134°F from March 25th to March 30th.
- TP-14
 - The 150-foot thermocouple showed an increase in maximum temperature of 13°F from 172°F to 185°F from March 25th to March 28th and then a decrease in maximum temperature of 14°F from 185°F to 171°F from March 28th to April 1st.
- TP-23
 - TP-23 reported maximum values of 2508°F on March 31st, due to being taken offline for pumping liquids from the probe casing prior to thermocouples being re-installed, causing the single day erroneous readings.
- TP-36
 - The 250-foot thermocouple showed an increase in maximum temperature of 12°F from 96°F to 108°F from March 22nd to March 29th and then a decrease in maximum temperature of 32°F from 108°F to 76°F from March 29th to March 31st.

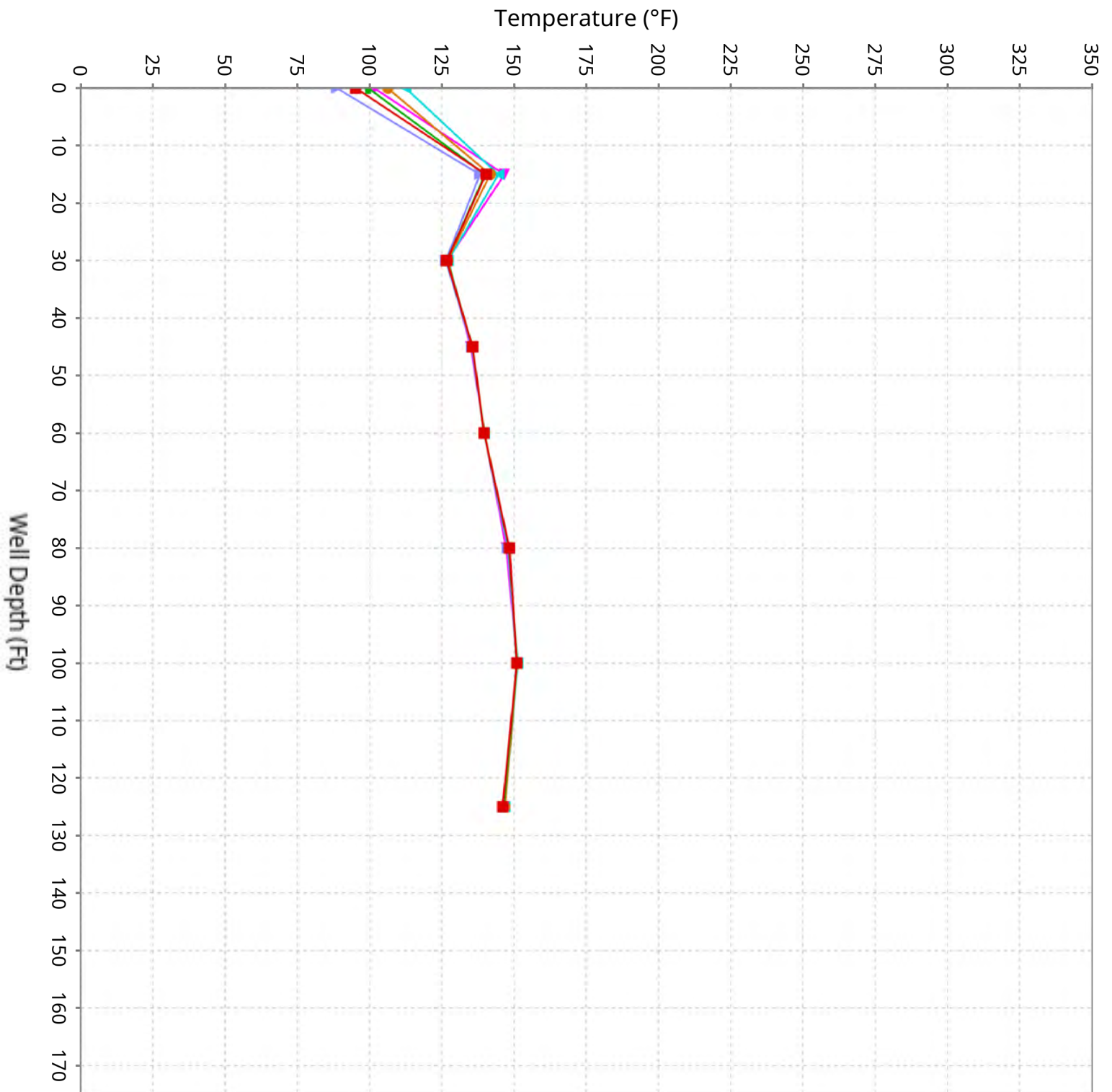
SCS ENGINEERS

07224053.00 | April 2, 2026

274 Granite Run Drive
Lancaster, PA 17601
717-550-6330

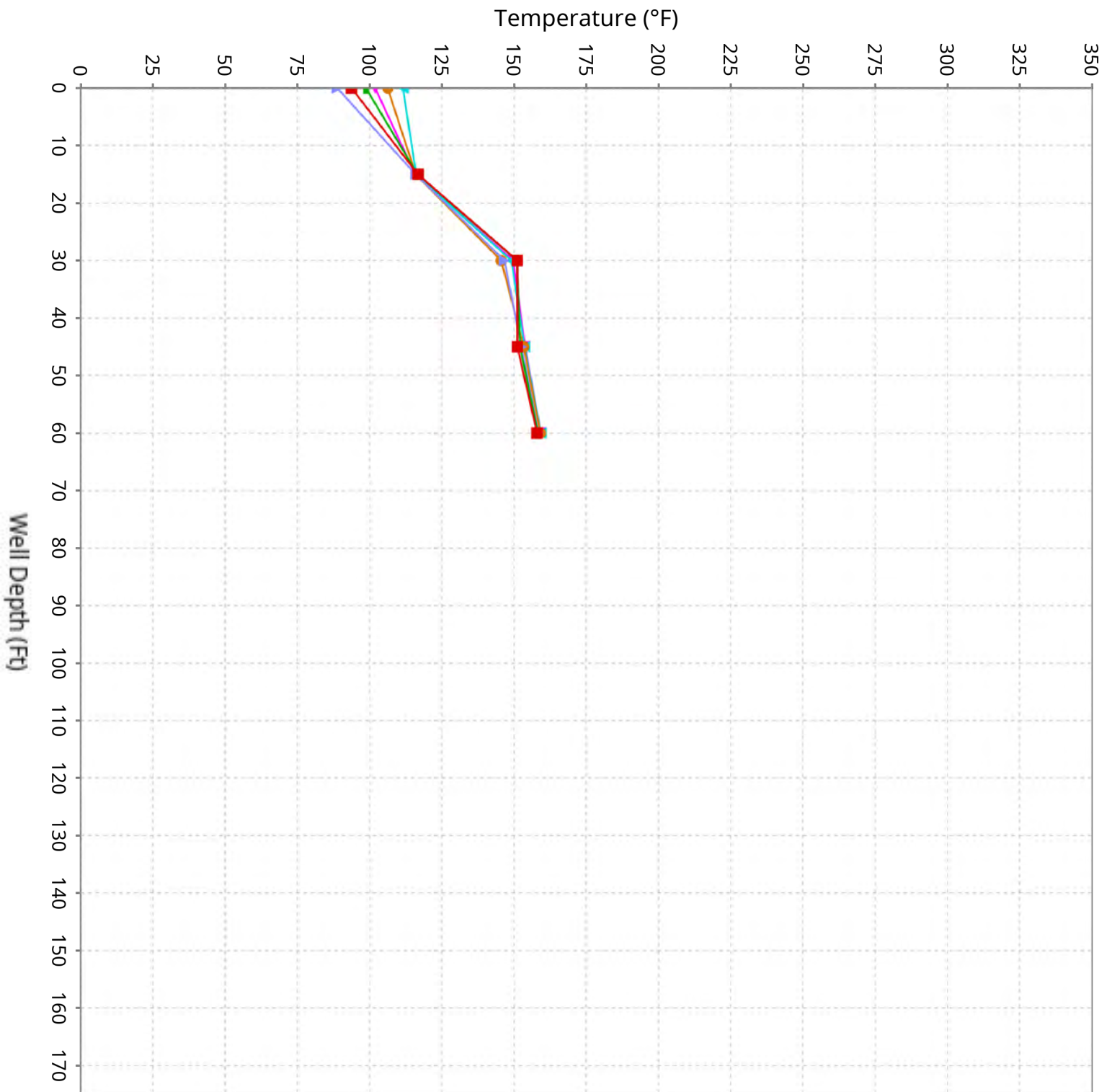
Vertical Temperature Profiles from Temperature Probes at Chiquita Landfill for TP-1

Maximum data for 2/19/2026 to 4/1/2026



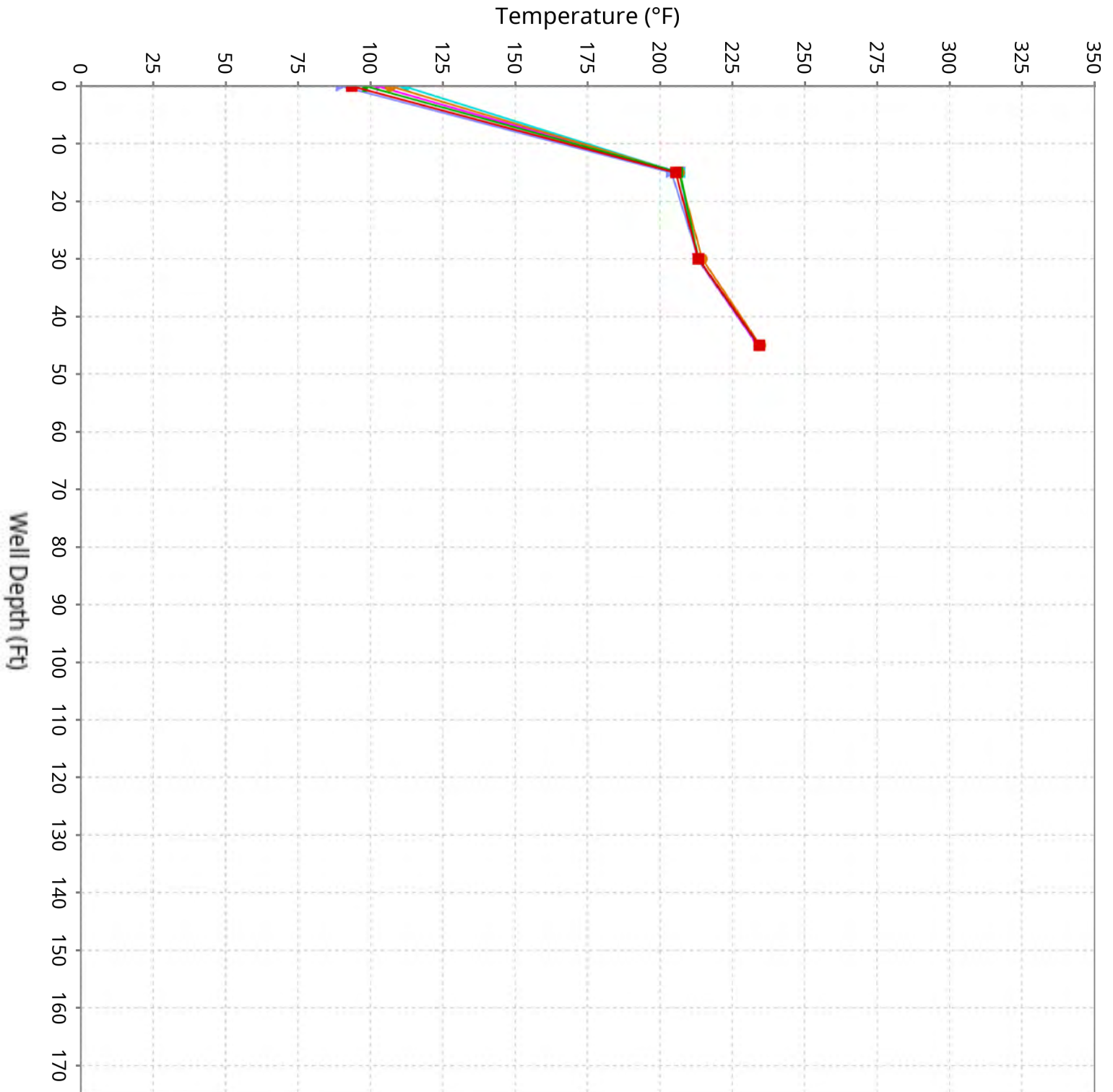
Vertical Temperature Profiles from Temperature Probes at Chiquita Landfill for TP-2

Maximum data for 2/19/2026 to 4/1/2026



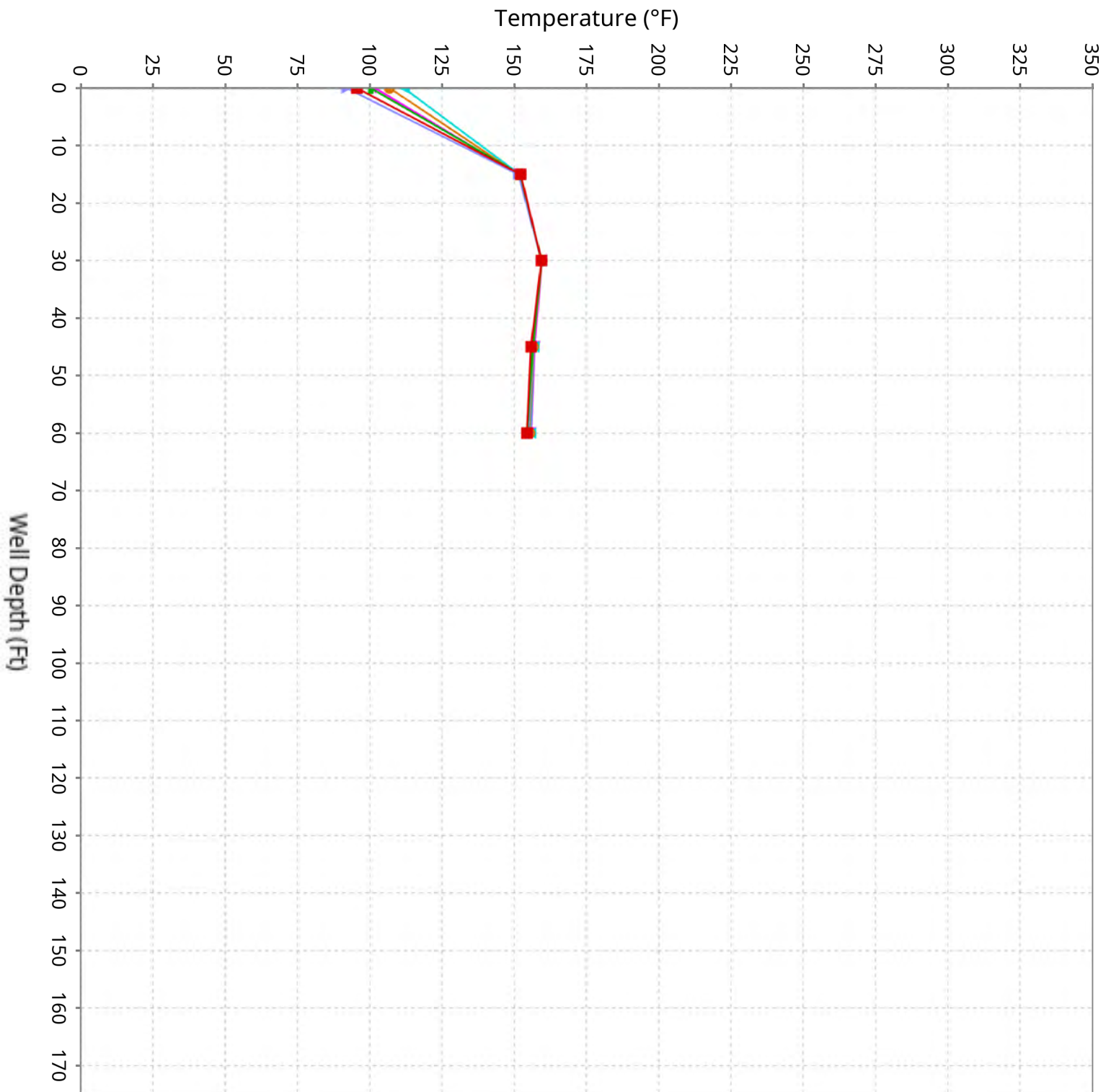
Vertical Temperature Profiles from Temperature Probes at Chiquita Landfill for TP-3

Maximum data for 2/19/2026 to 4/1/2026



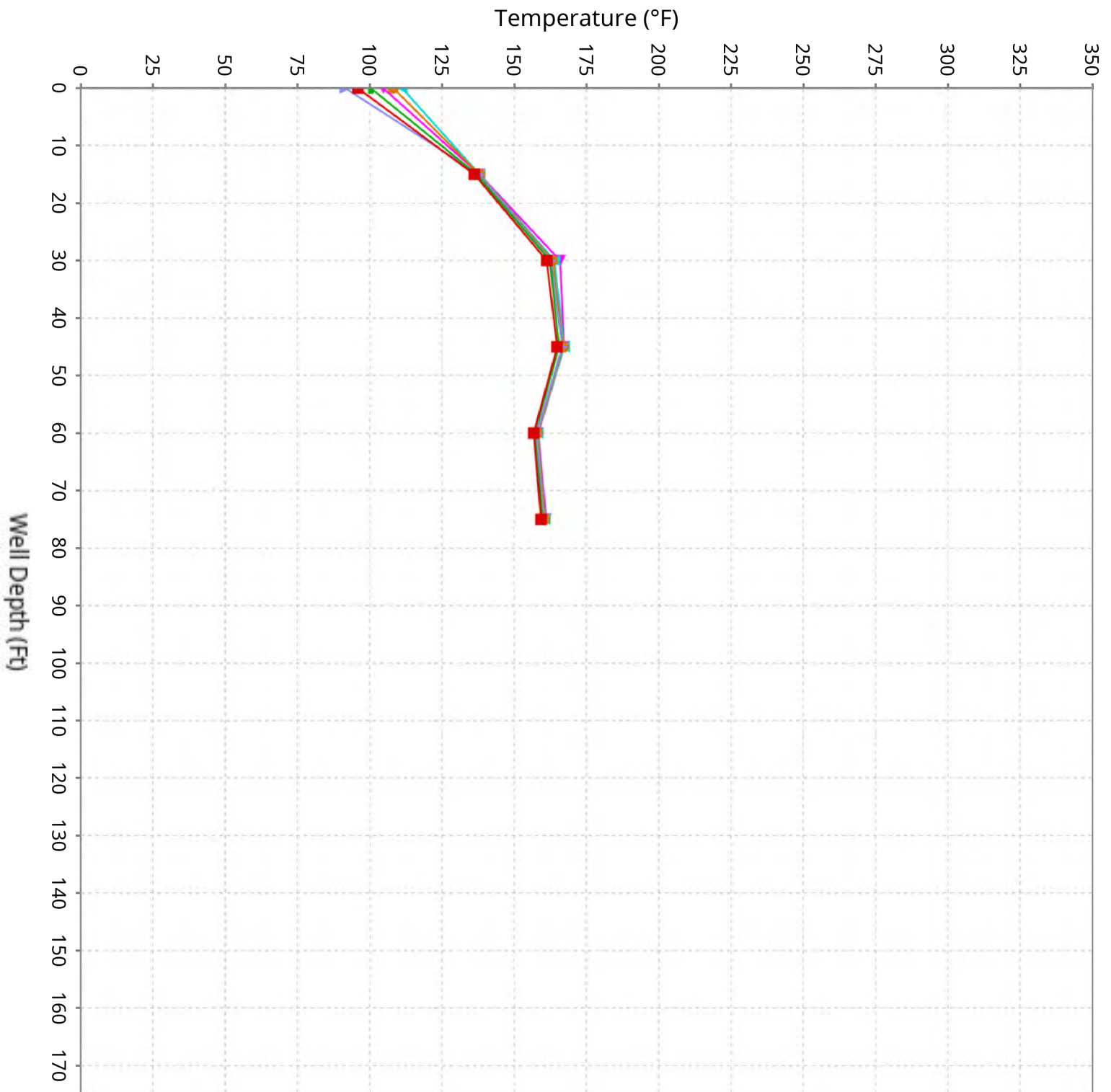
Vertical Temperature Profiles from Temperature Probes at Chiquita Landfill for TP-4

Maximum data for 2/19/2026 to 4/1/2026



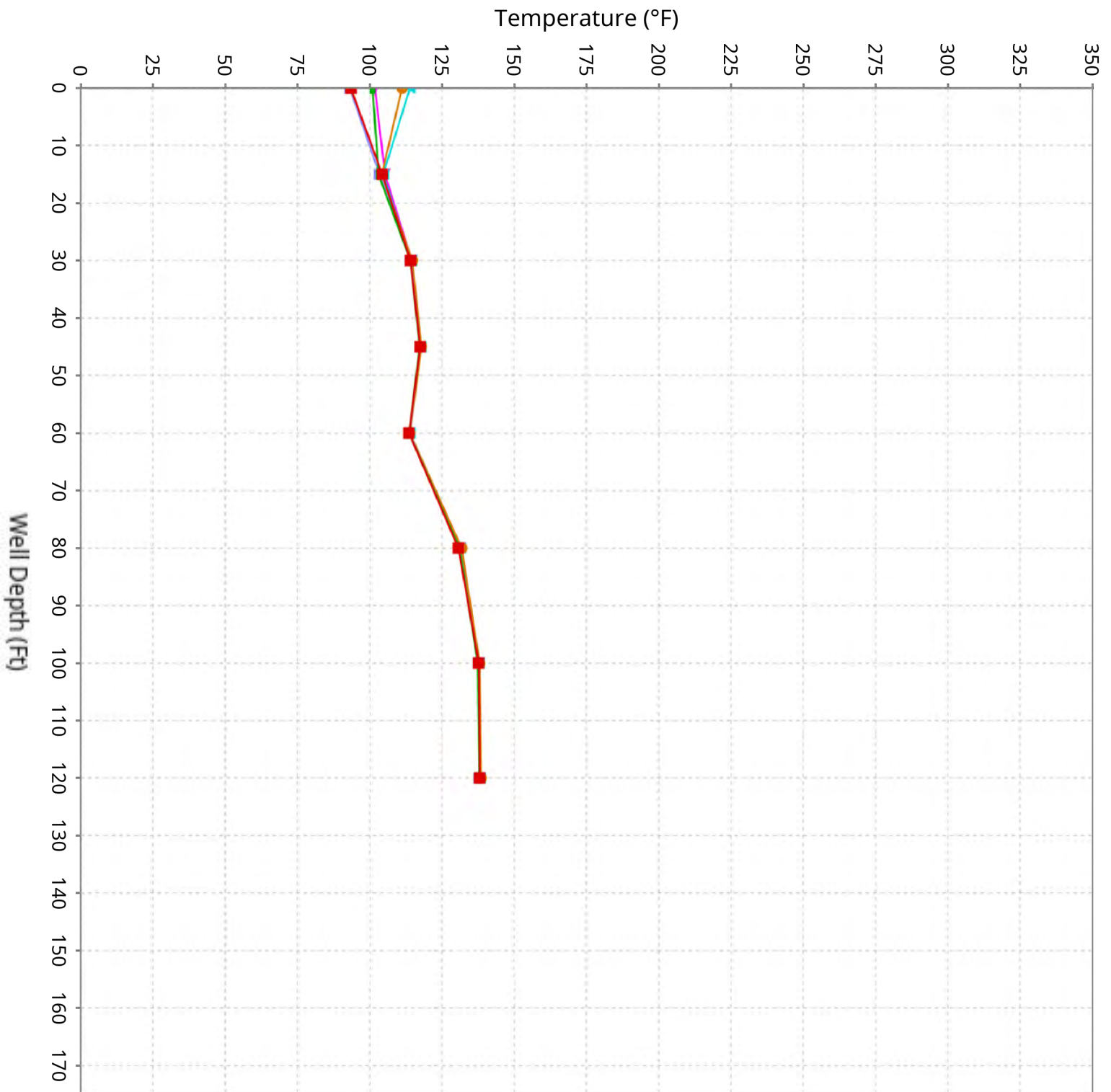
Vertical Temperature Profiles from Temperature Probes at Chiquita Landfill for TP-5

Maximum data for 2/19/2026 to 4/1/2026



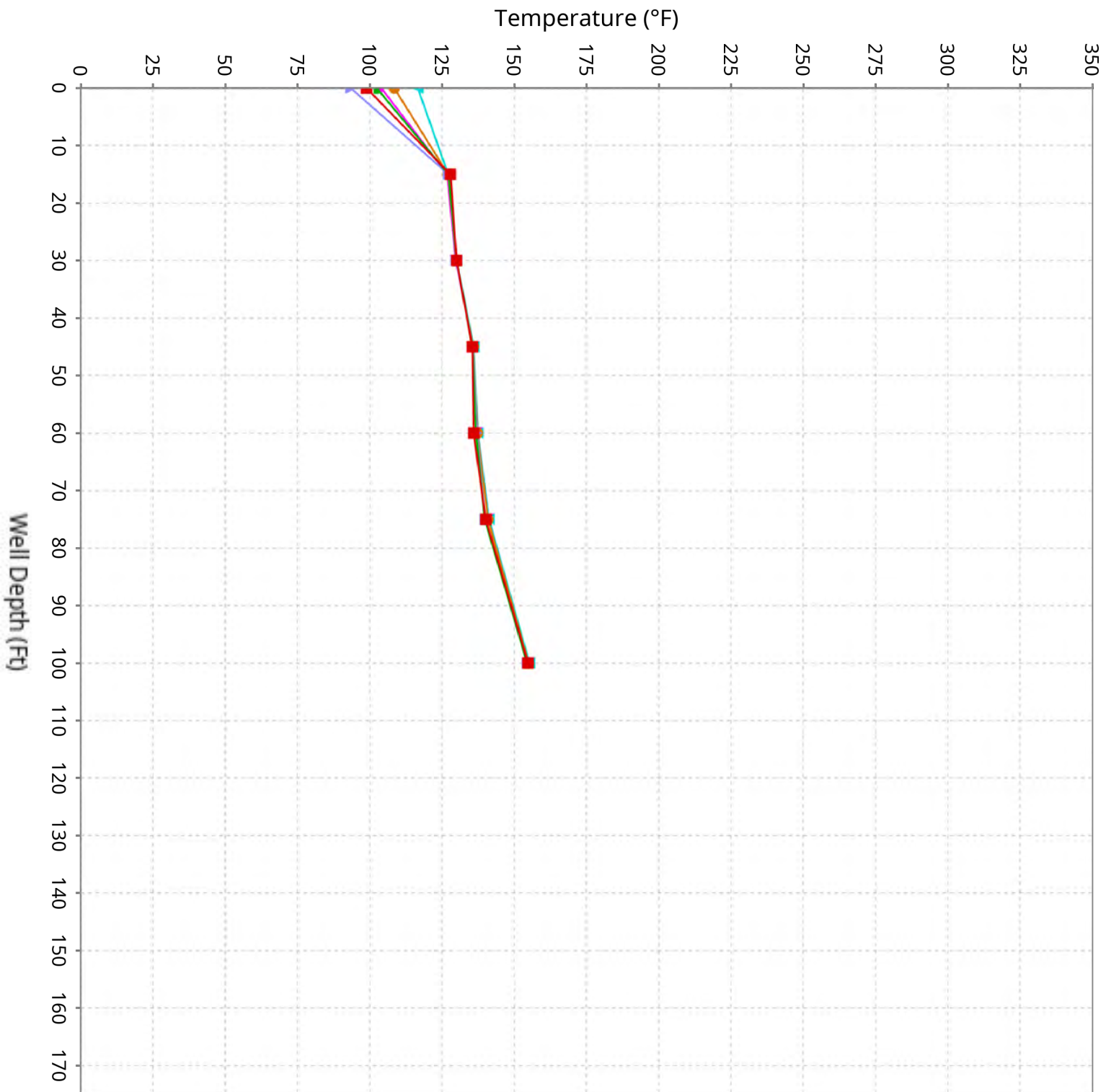
Vertical Temperature Profiles from Temperature Probes at Chiquita Landfill for TP-6

Maximum data for 2/19/2026 to 4/1/2026



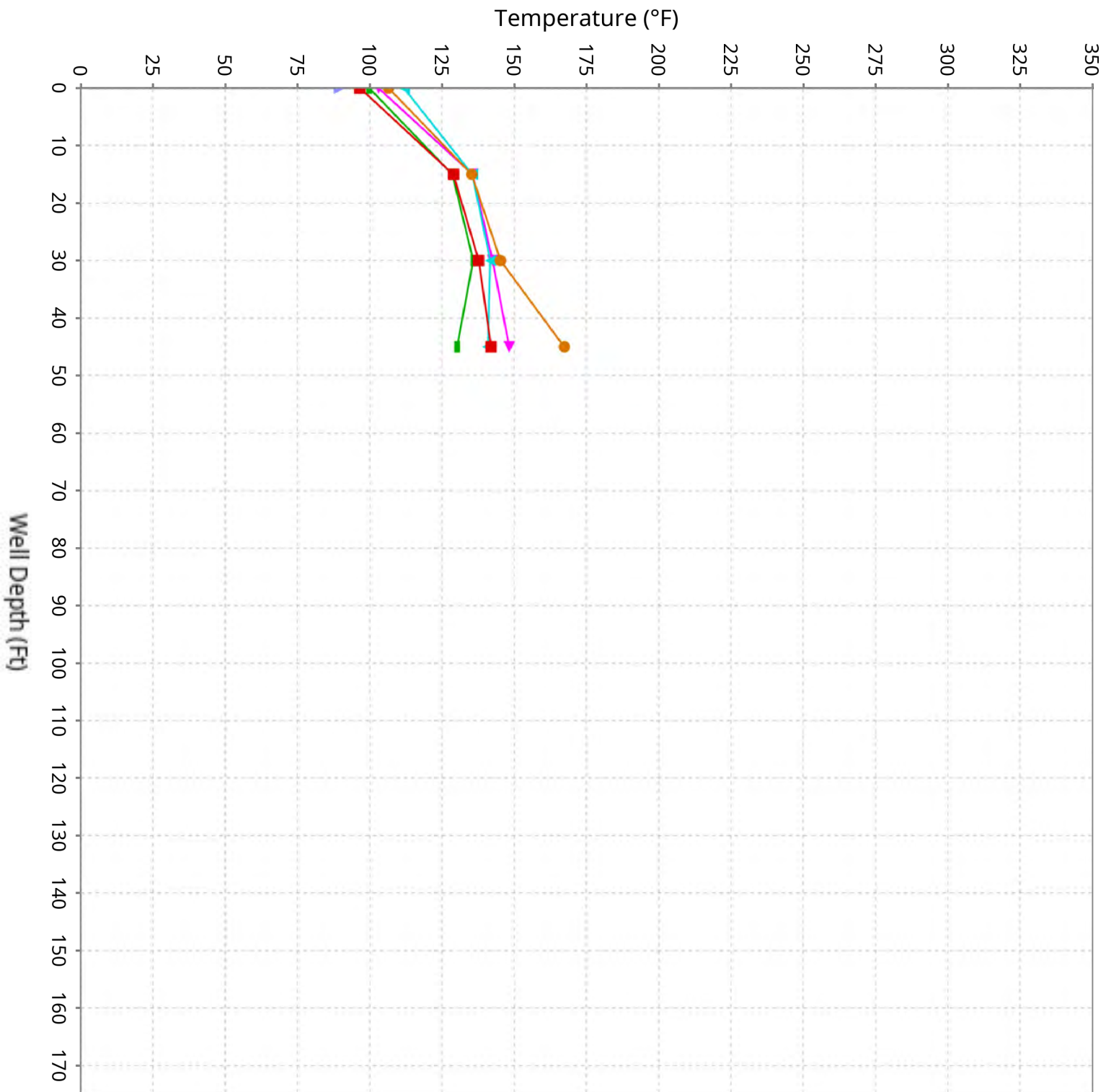
Vertical Temperature Profiles from Temperature Probes at Chiquita Landfill for TP-7

Maximum data for 2/19/2026 to 4/1/2026



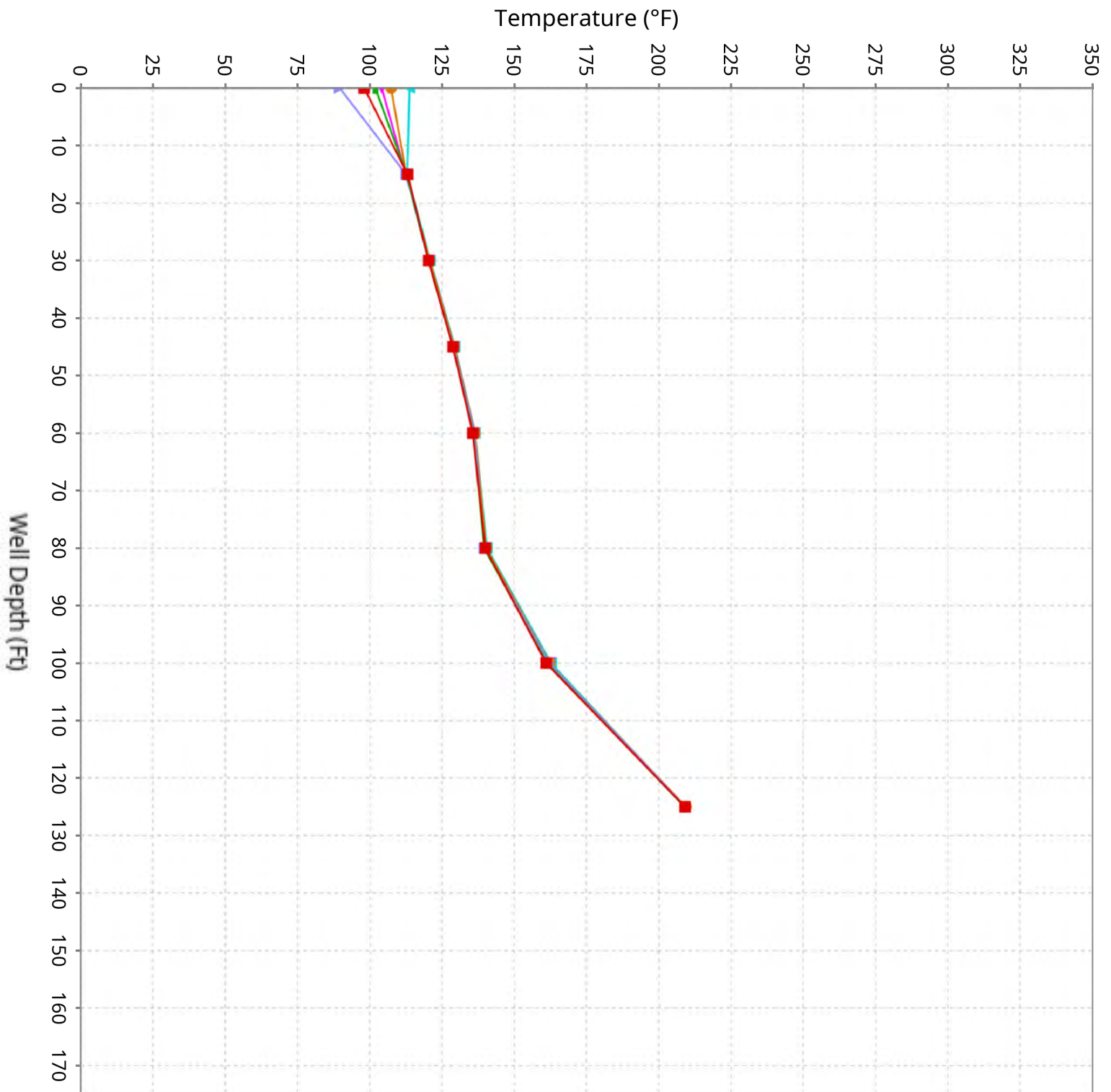
Vertical Temperature Profiles from Temperature Probes at Chiquita Landfill for TP-8

Maximum data for 2/19/2026 to 4/1/2026



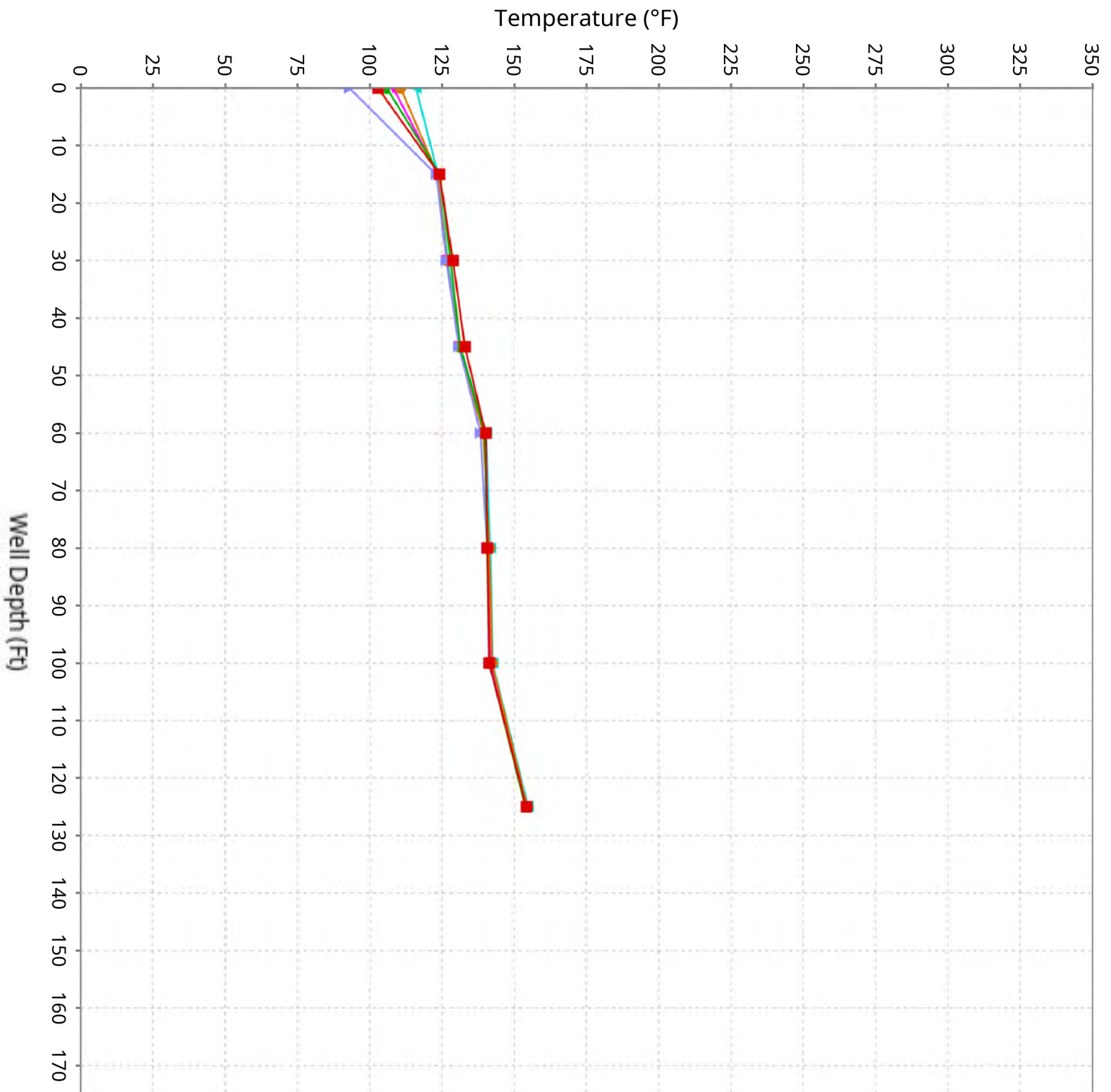
Vertical Temperature Profiles from Temperature Probes at Chiquita Landfill for TP-9

Maximum data for 2/19/2026 to 4/1/2026



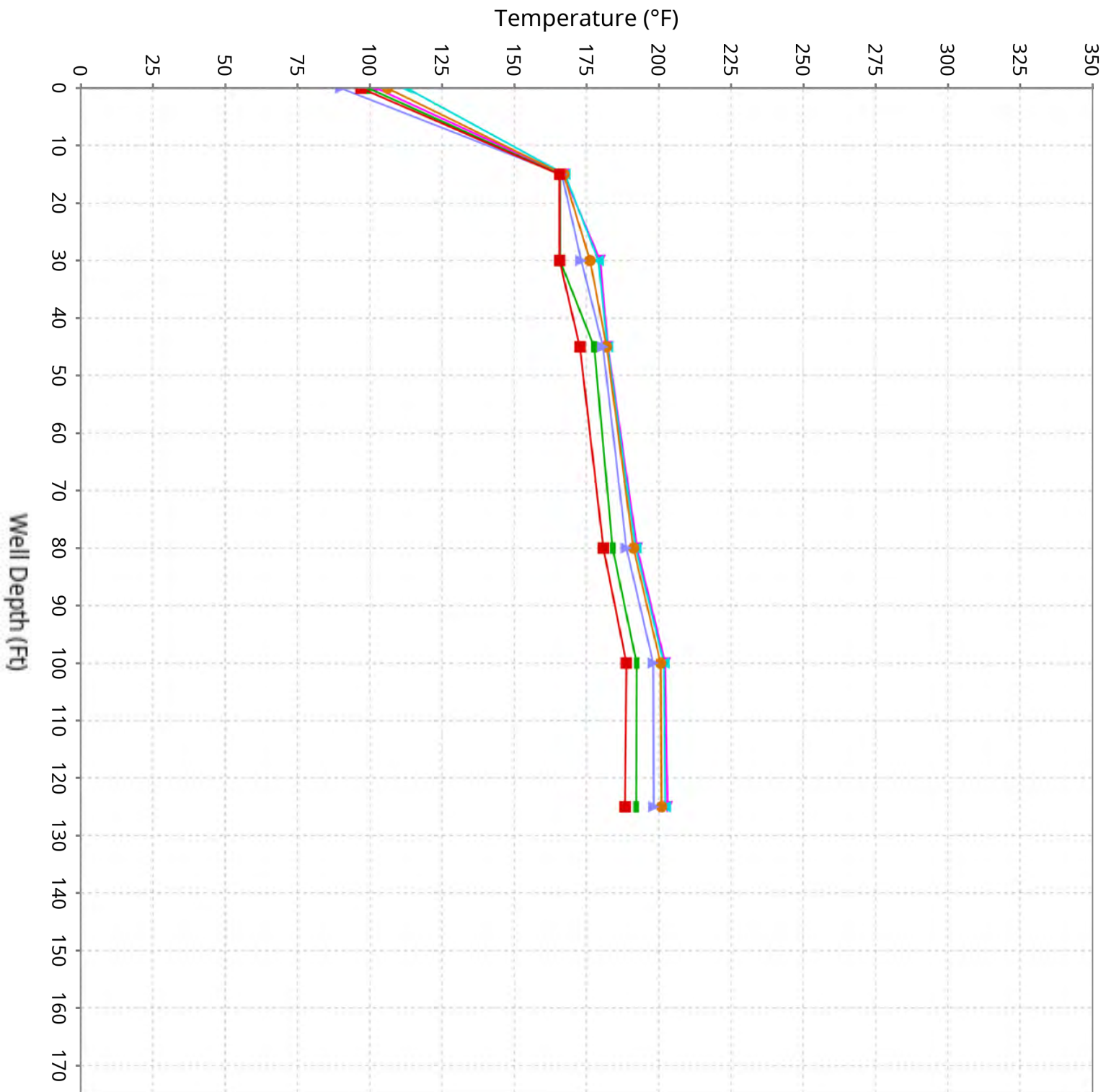
Vertical Temperature Profiles from Temperature Probes at Chiquita Landfill for TP-10

Maximum data for 2/19/2026 to 4/1/2026



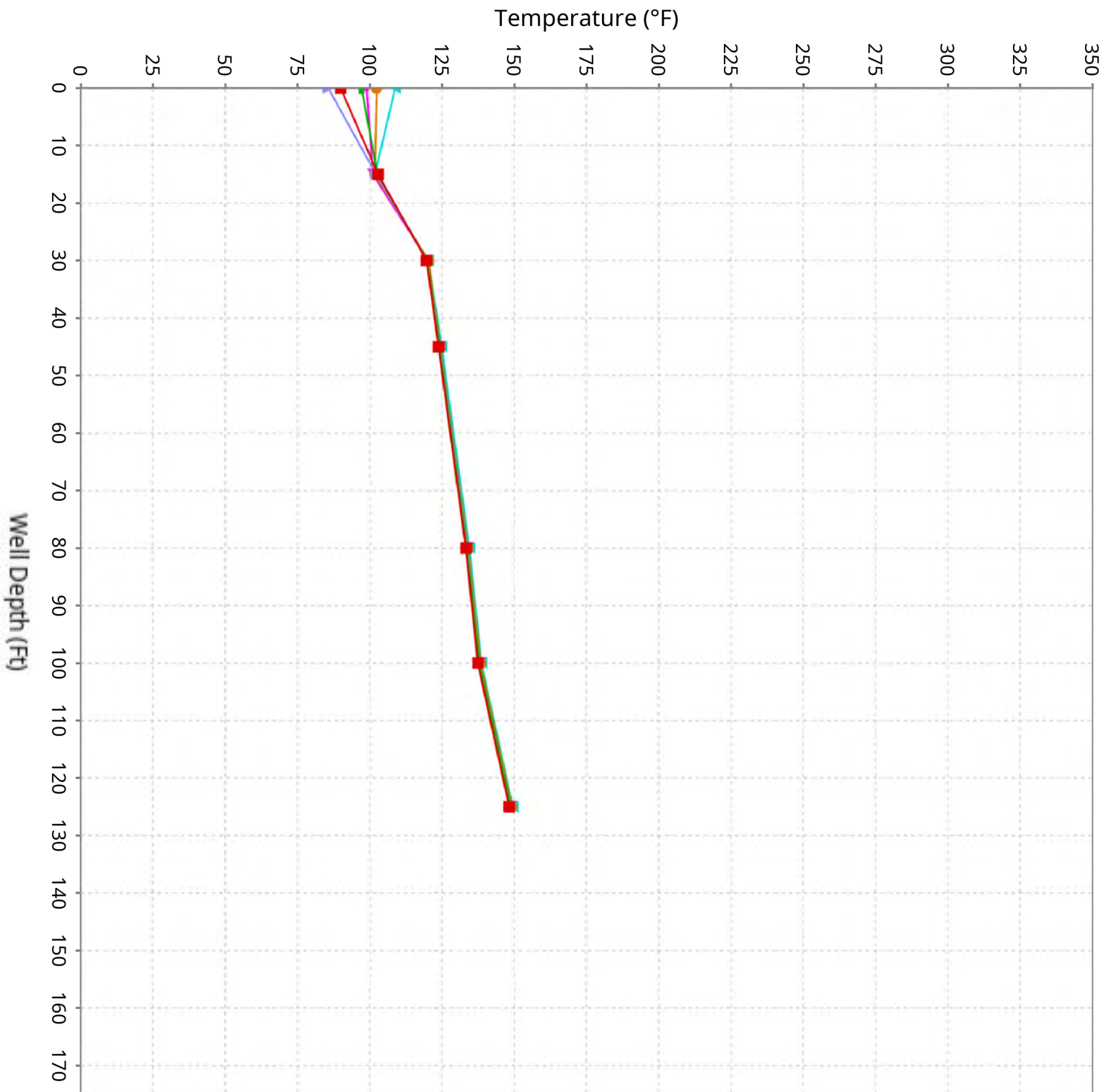
Vertical Temperature Profiles from Temperature Probes at Chiquita Landfill for TP-11

Maximum data for 2/19/2026 to 4/1/2026



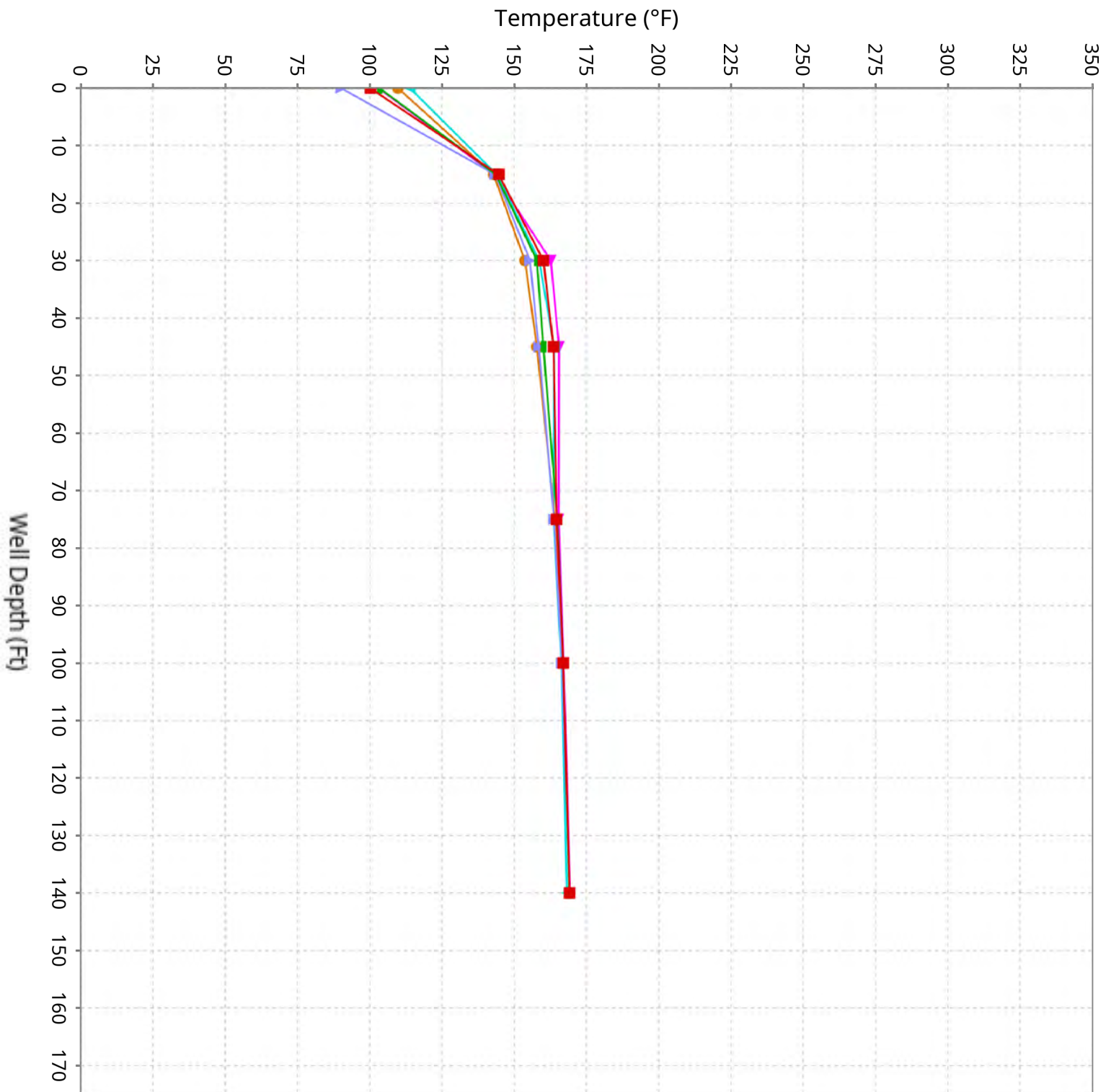
Vertical Temperature Profiles from Temperature Probes at Chiquita Landfill for TP-12

Maximum data for 2/19/2026 to 4/1/2026



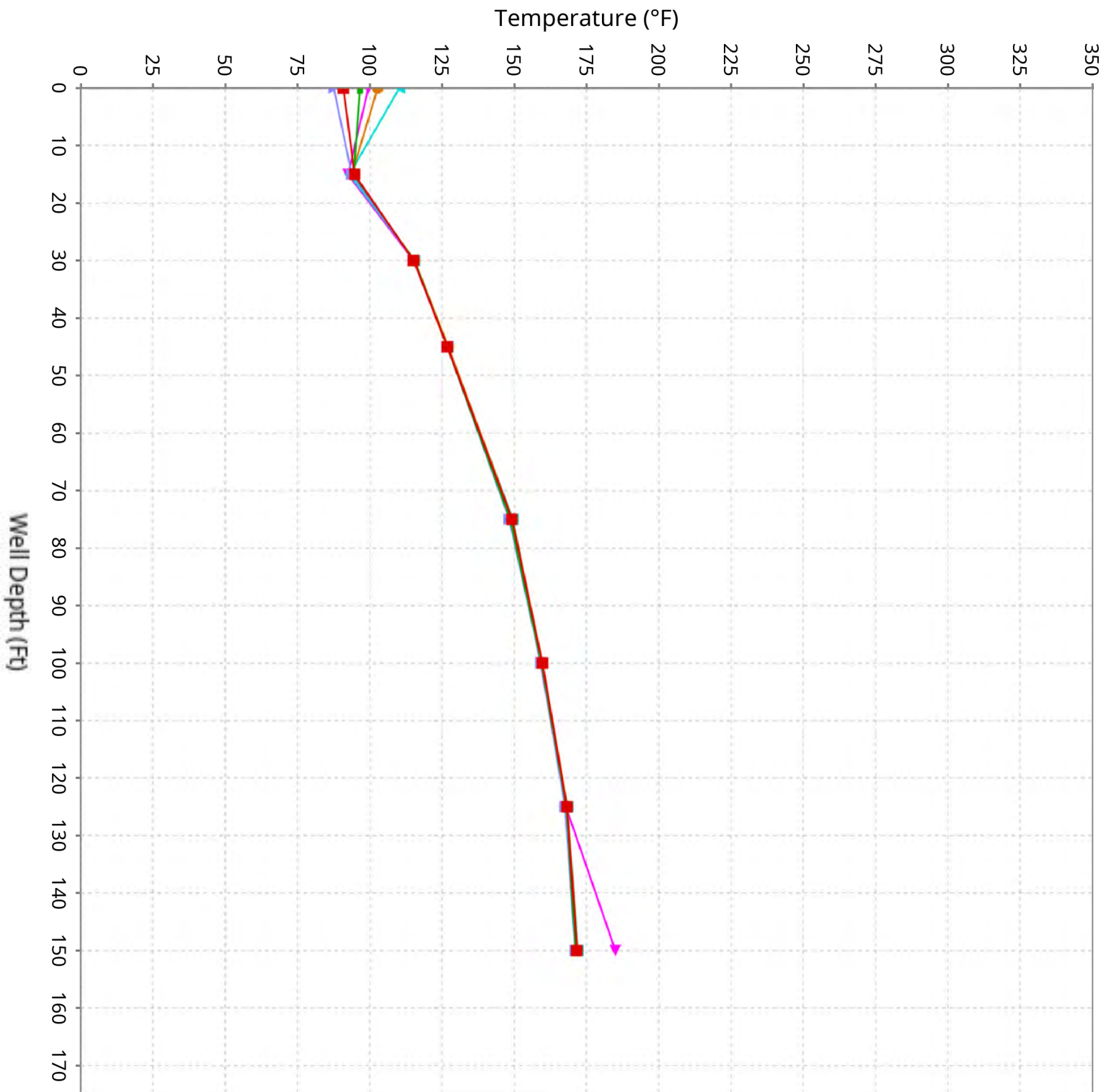
Vertical Temperature Profiles from Temperature Probes at Chiquita Landfill for TP-13

Maximum data for 2/19/2026 to 4/1/2026



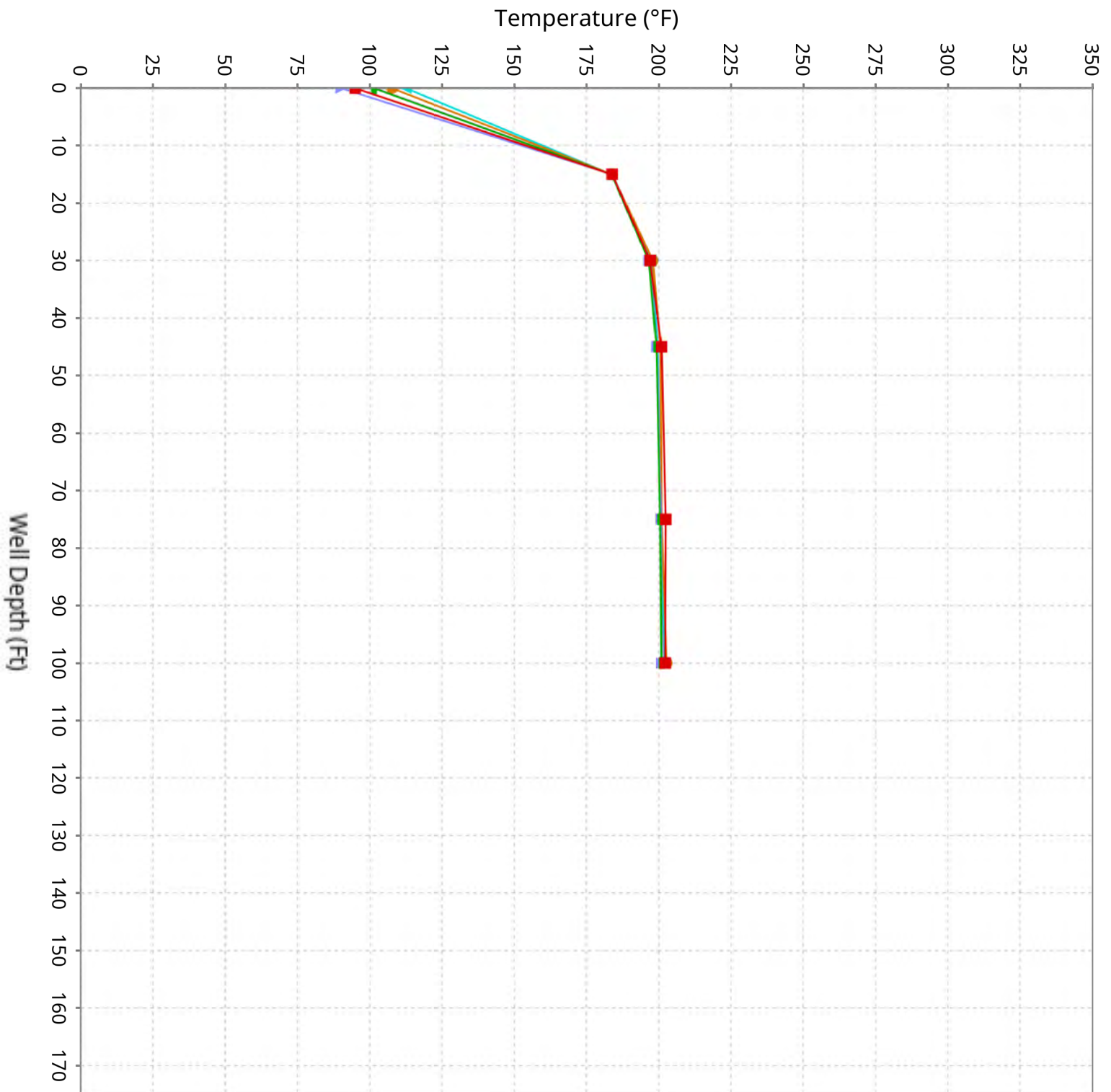
Vertical Temperature Profiles from Temperature Probes at Chiquita Landfill for TP-14

Maximum data for 2/19/2026 to 4/1/2026



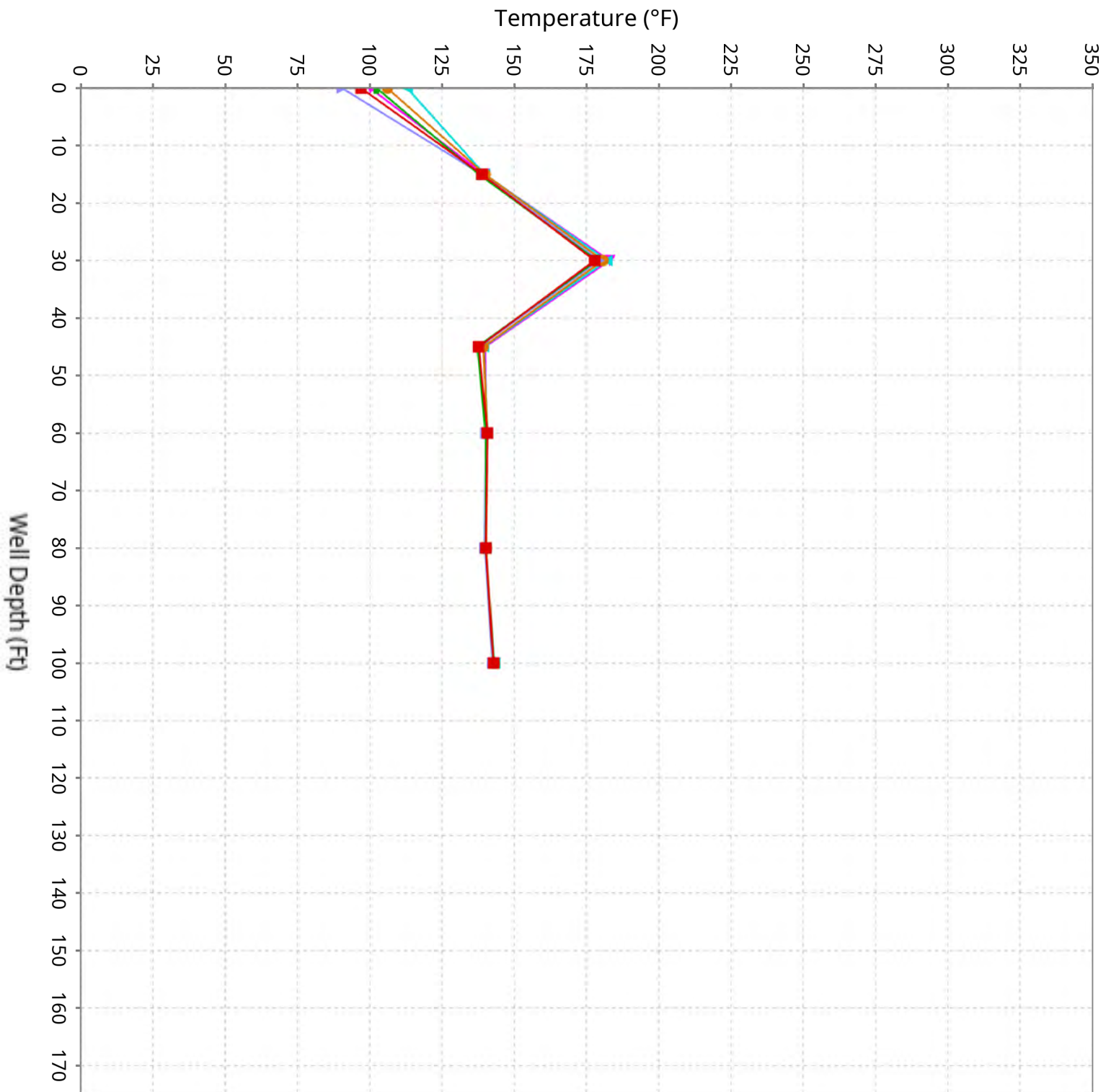
Vertical Temperature Profiles from Temperature Probes at Chiquita Landfill for TP-15

Maximum data for 2/19/2026 to 4/1/2026



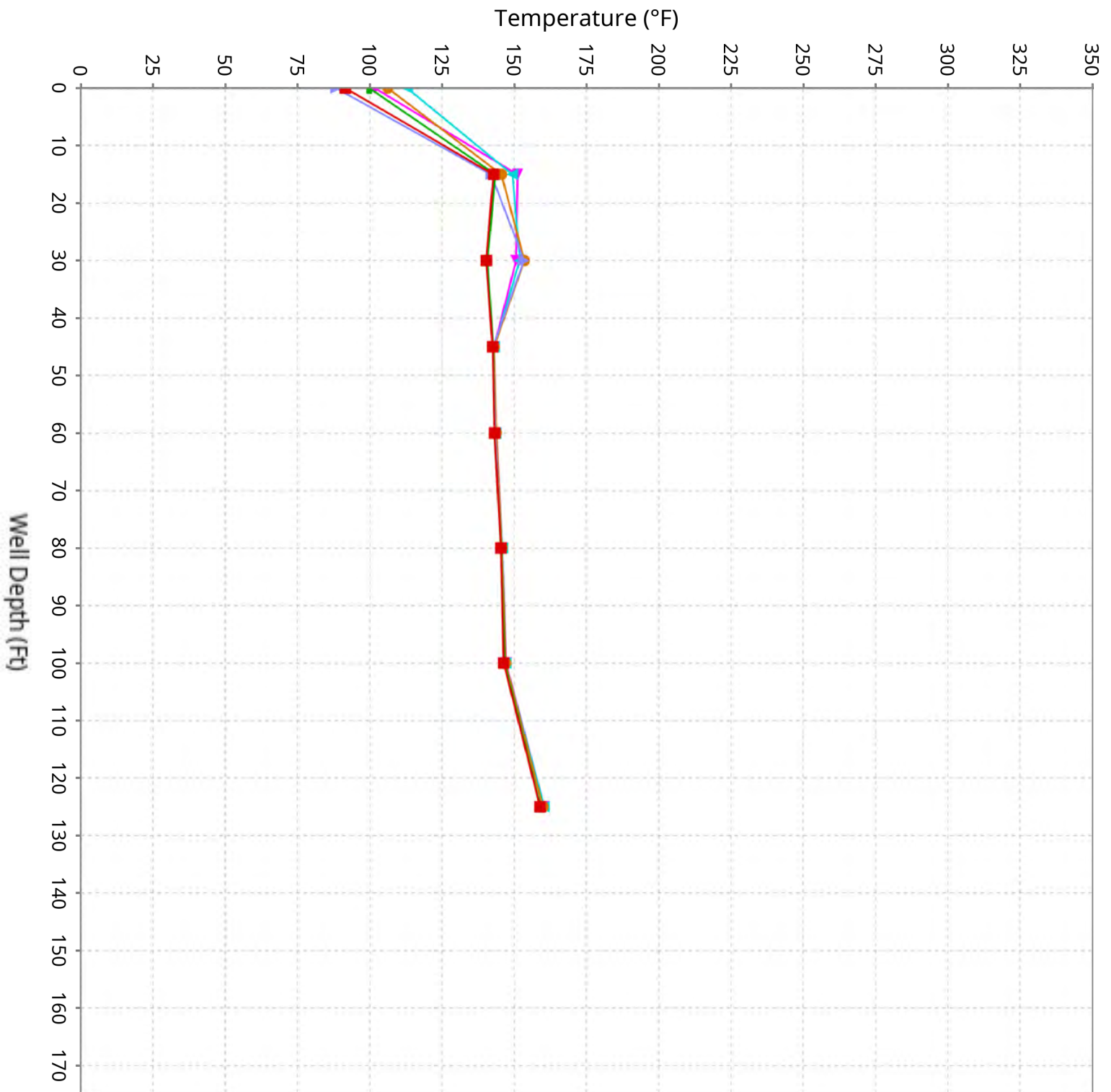
Vertical Temperature Profiles from Temperature Probes at Chiquita Landfill for TP-16

Maximum data for 2/19/2026 to 4/1/2026



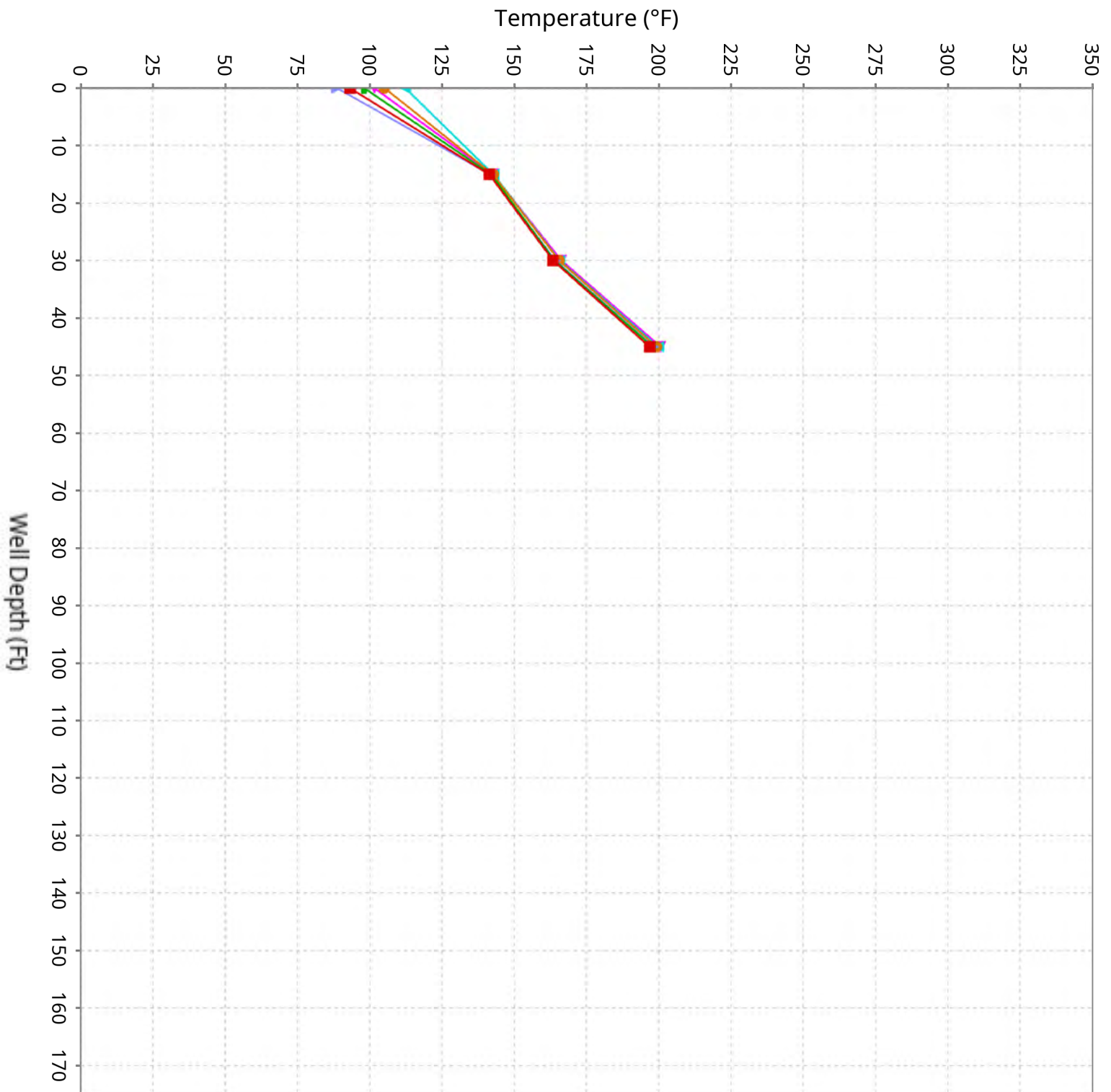
Vertical Temperature Profiles from Temperature Probes at Chiquita Landfill for TP-17

Maximum data for 2/19/2026 to 4/1/2026



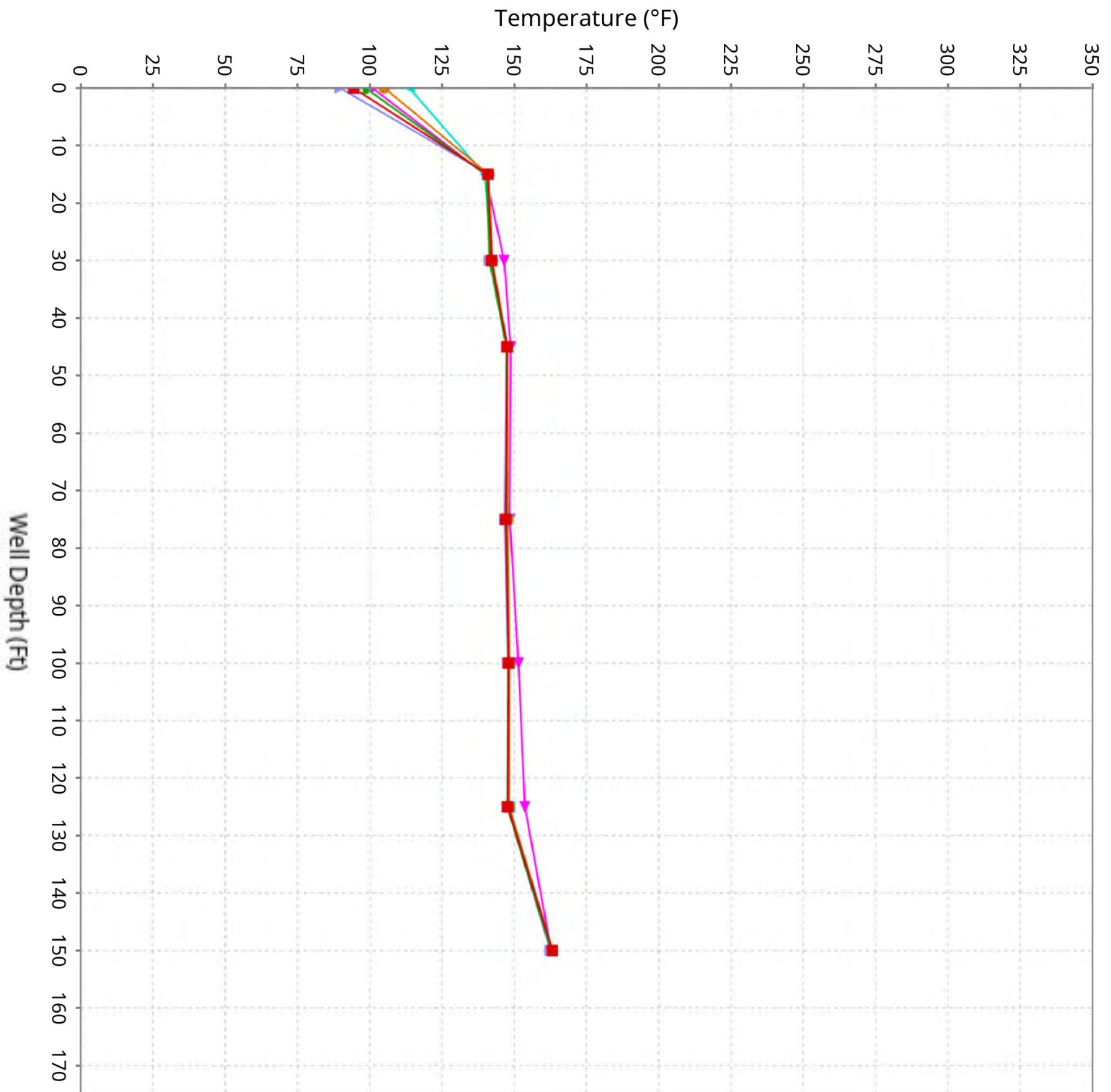
Vertical Temperature Profiles from Temperature Probes at Chiquita Landfill for TP-18

Maximum data for 2/19/2026 to 4/1/2026



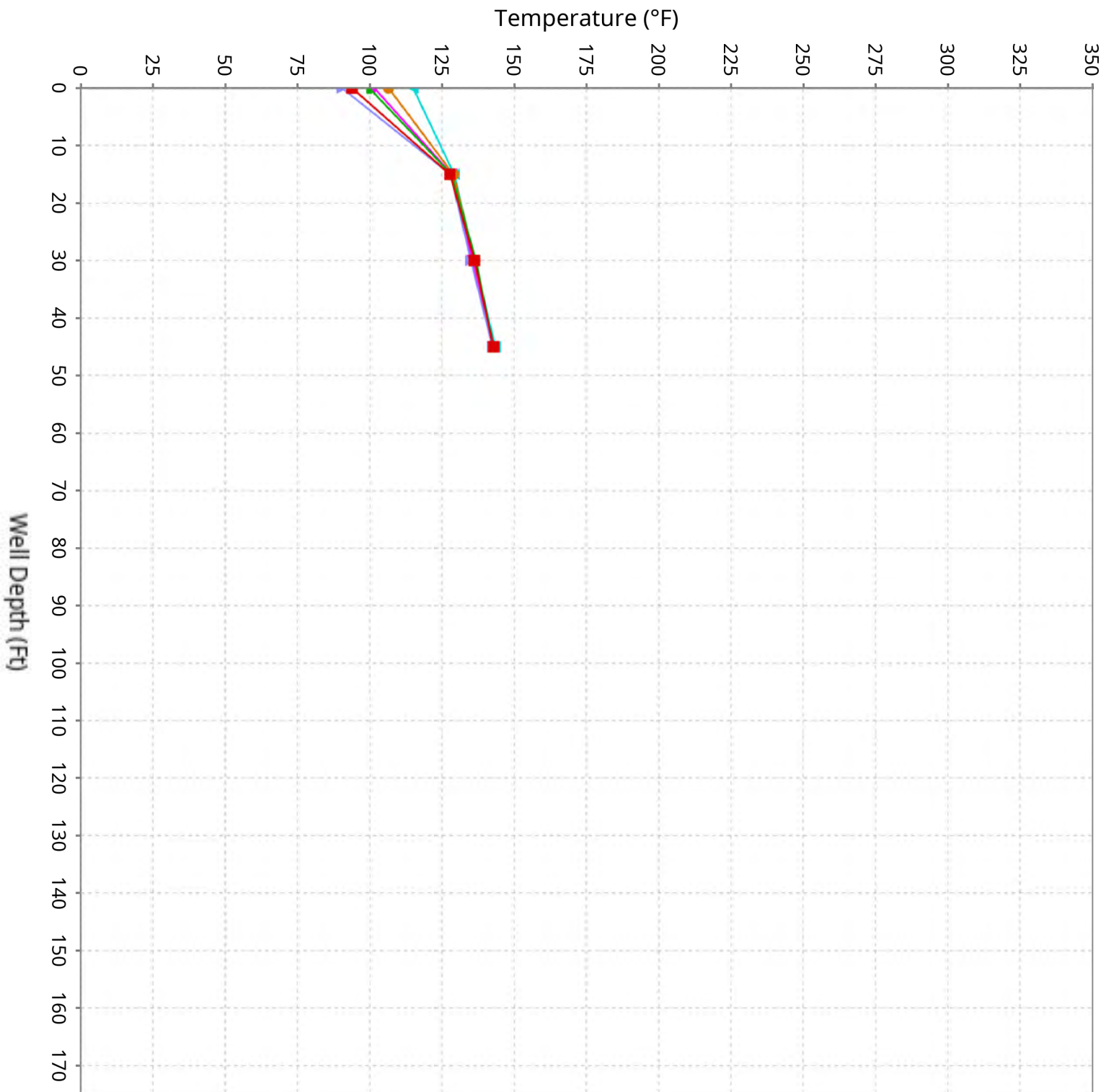
Vertical Temperature Profiles from Temperature Probes at Chiquita Landfill for TP-19

Maximum data for 2/19/2026 to 4/1/2026



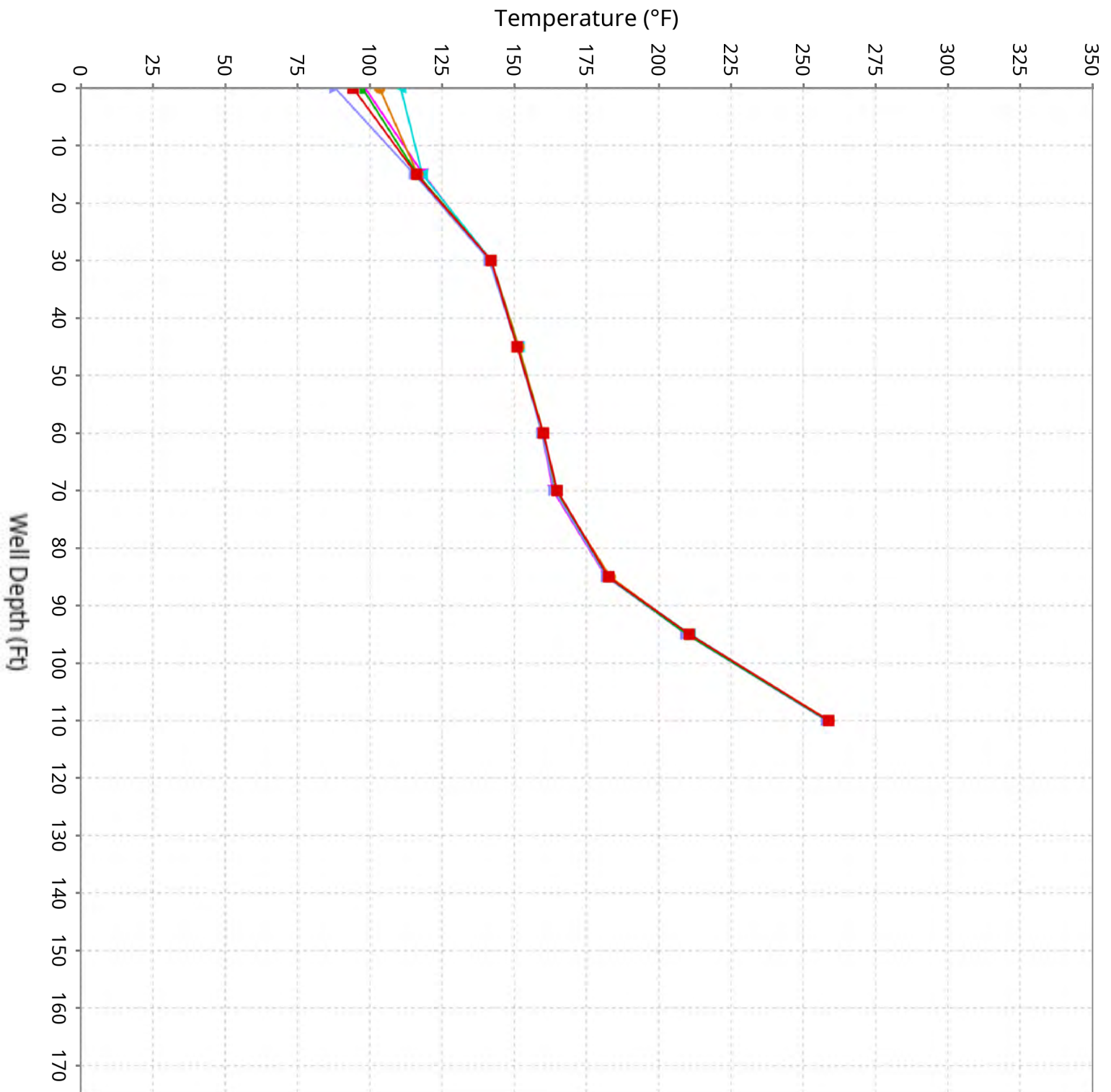
Vertical Temperature Profiles from Temperature Probes at Chiquita Landfill for TP-20

Maximum data for 2/19/2026 to 4/1/2026



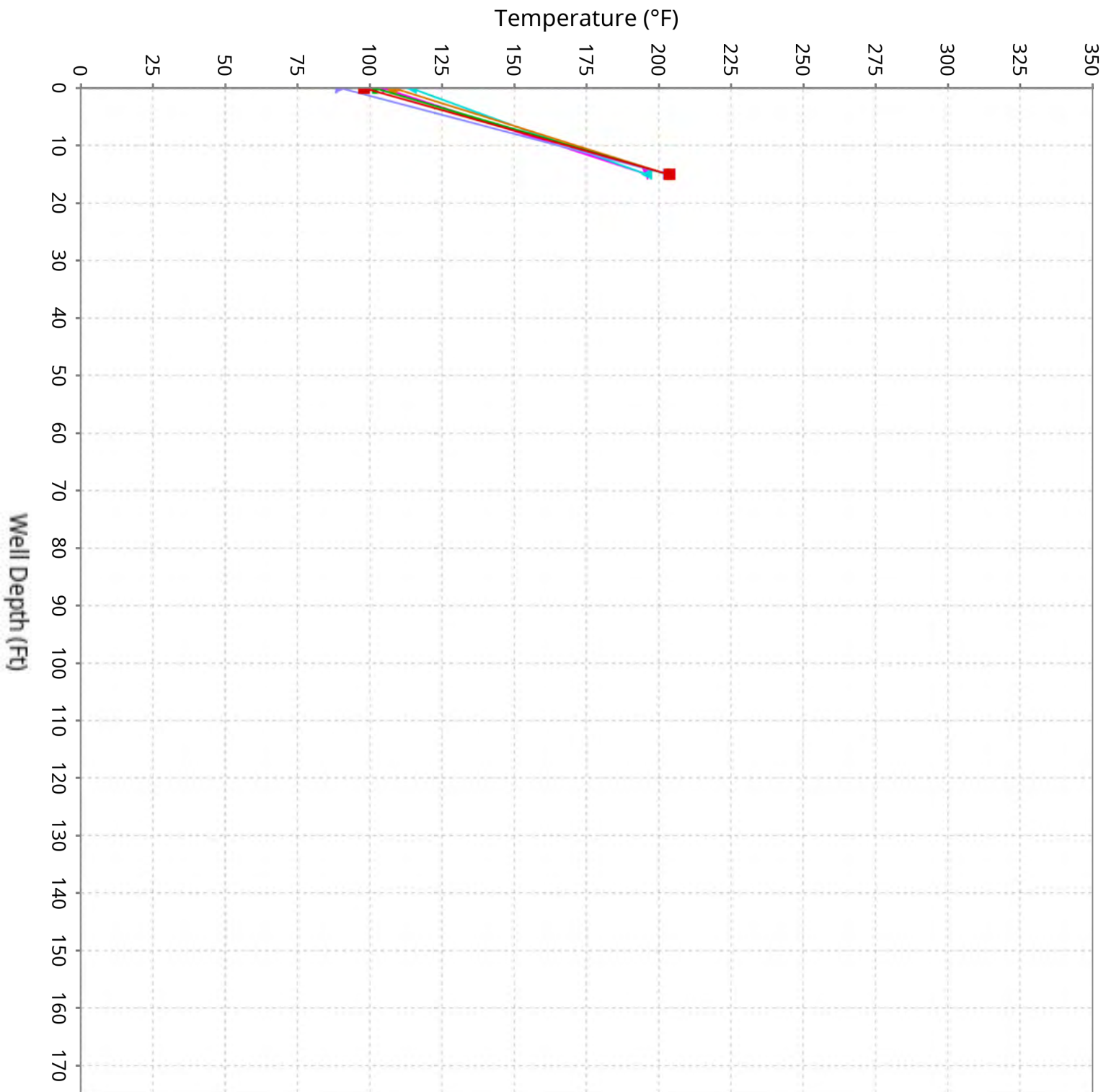
Vertical Temperature Profiles from Temperature Probes at Chiquita Landfill for TP-21

Maximum data for 2/19/2026 to 4/1/2026



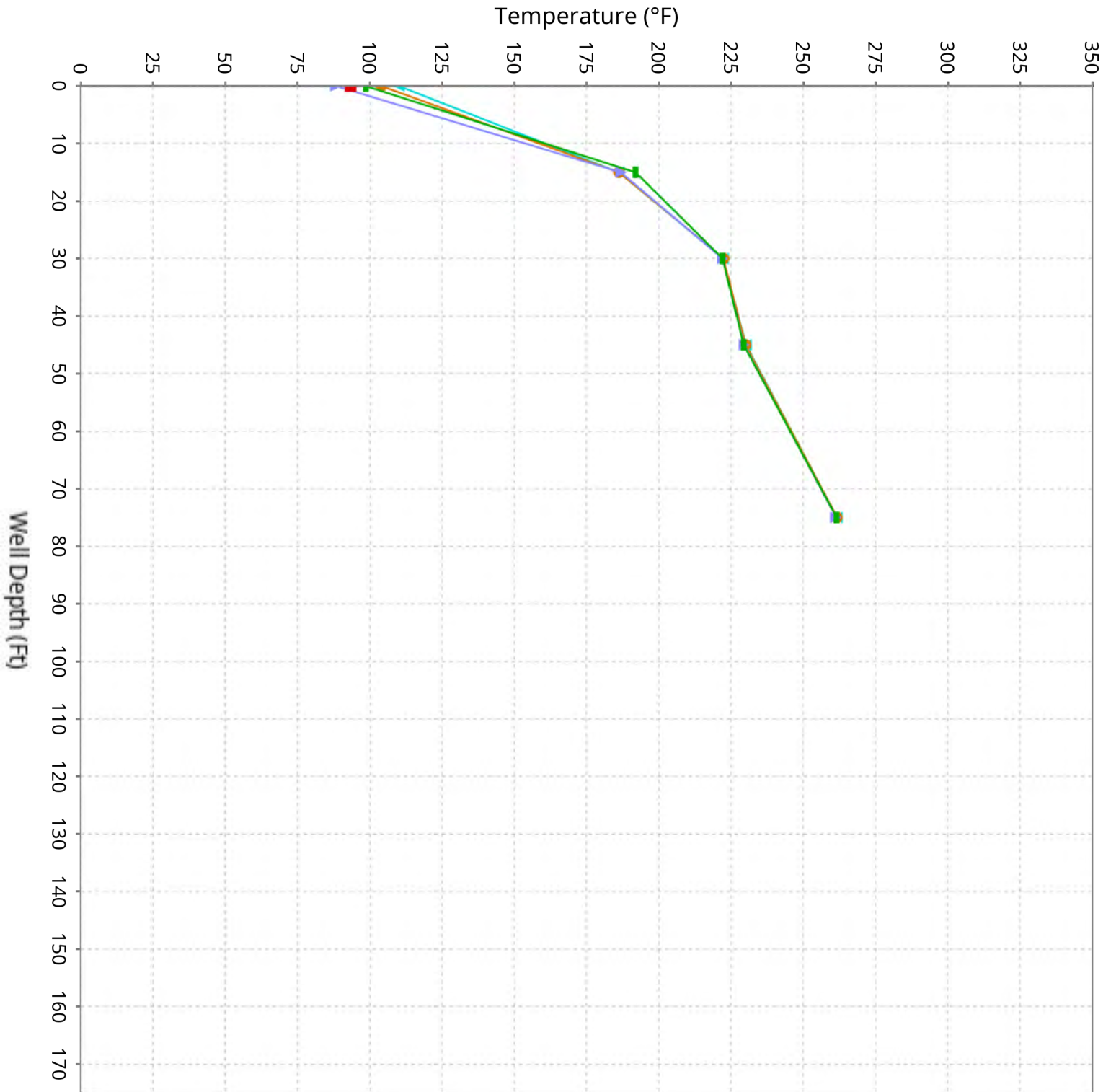
Vertical Temperature Profiles from Temperature Probes at Chiquita Landfill for TP-22

Maximum data for 2/19/2026 to 4/1/2026



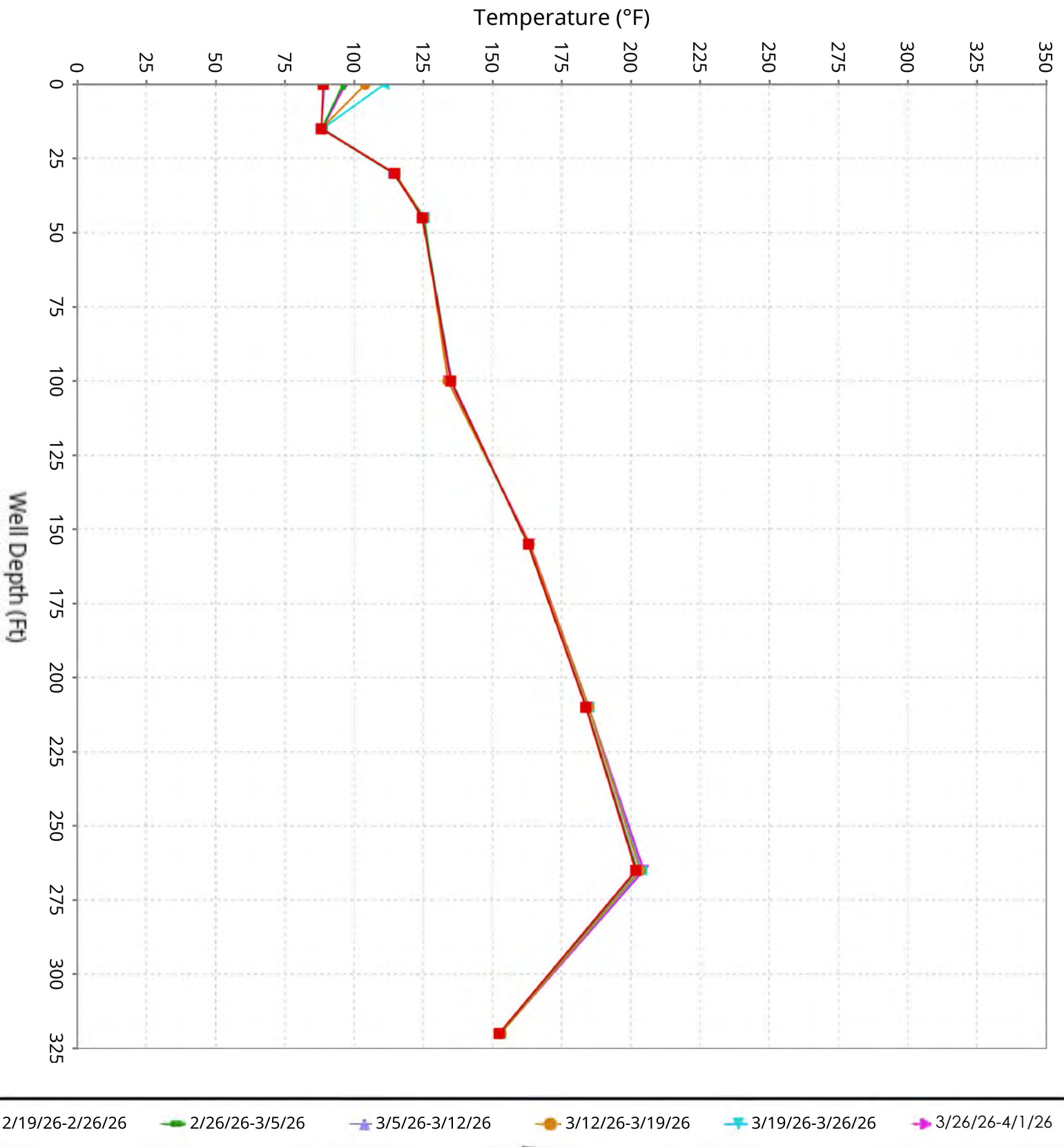
Vertical Temperature Profiles from Temperature Probes at Chiquita Landfill for TP-23

Maximum data for 2/19/2026 to 4/1/2026



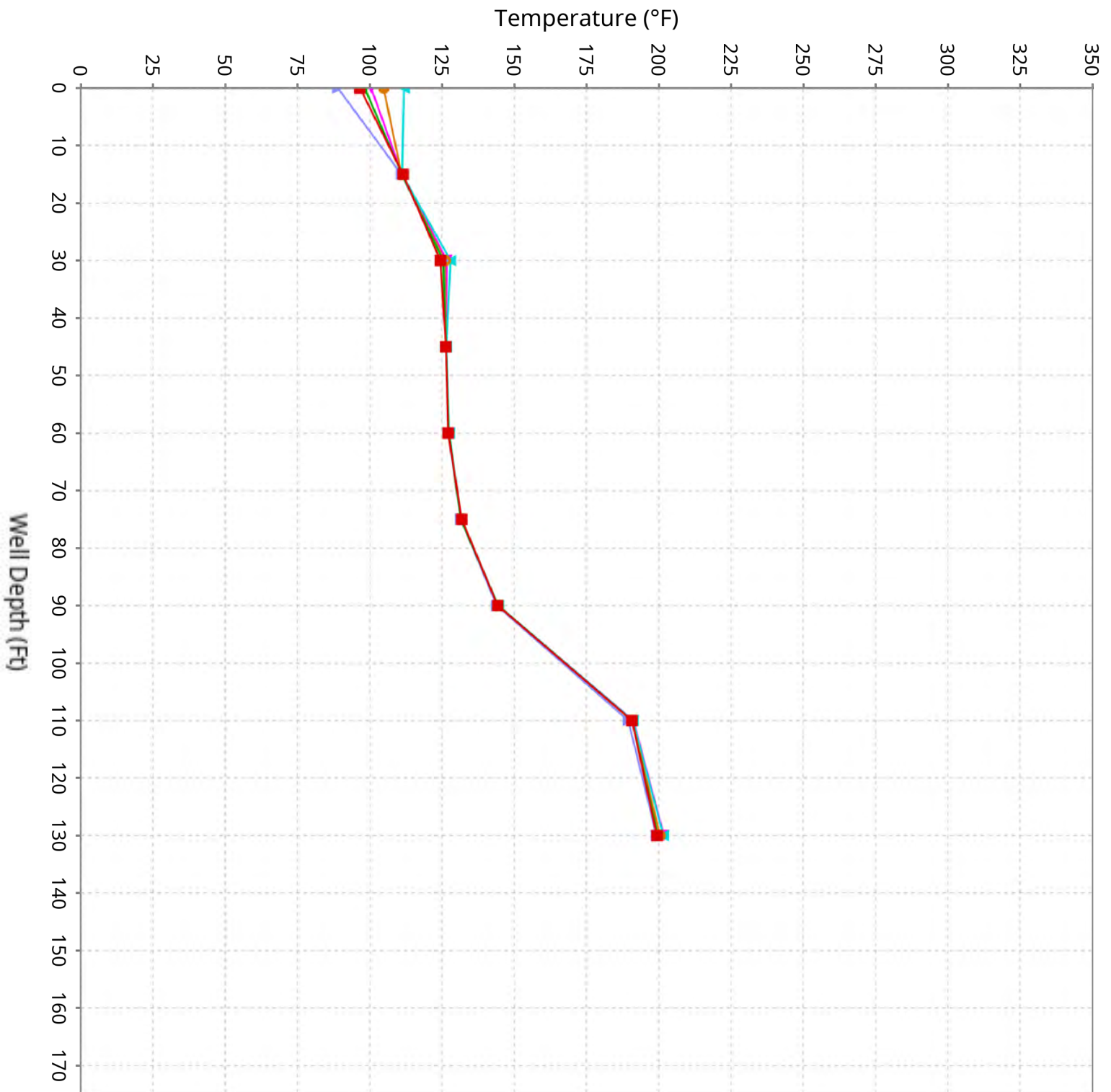
Vertical Temperature Profiles from Temperature Probes at Chiquita Landfill for TP-24

Maximum data for 2/19/2026 to 4/1/2026



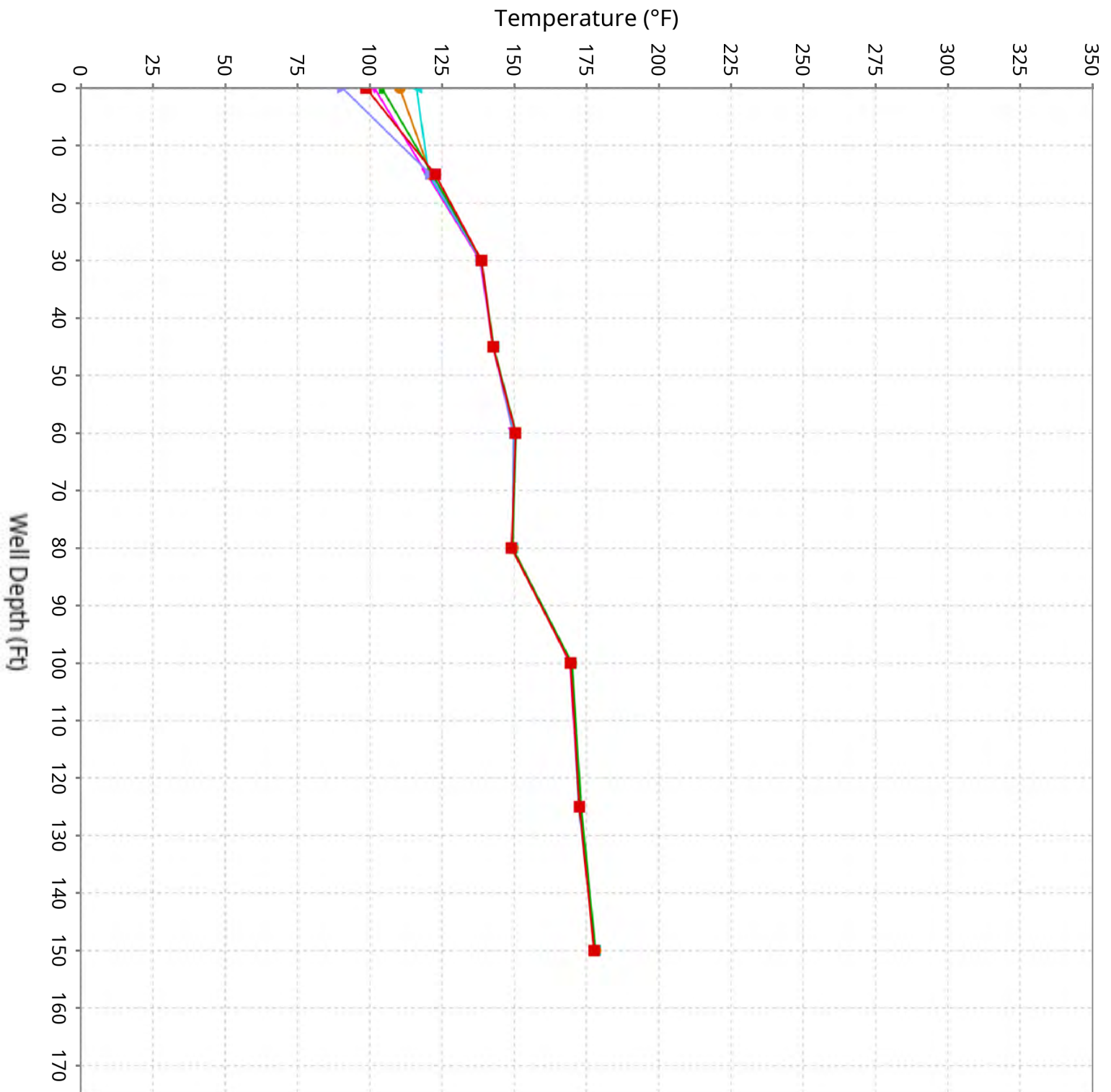
Vertical Temperature Profiles from Temperature Probes at Chiquita Landfill for TP-25

Maximum data for 2/19/2026 to 4/1/2026



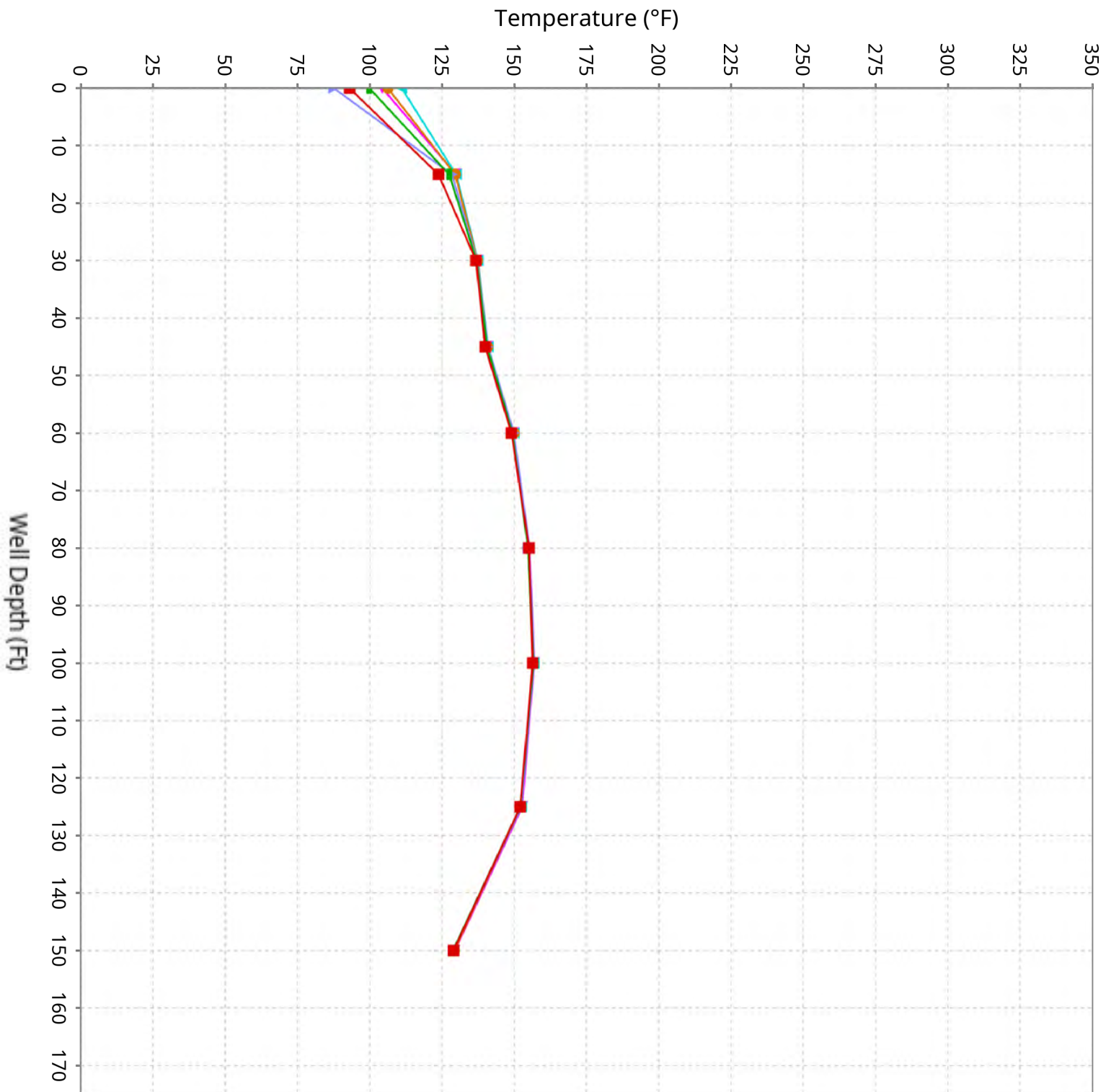
Vertical Temperature Profiles from Temperature Probes at Chiquita Landfill for TP-26

Maximum data for 2/19/2026 to 4/1/2026



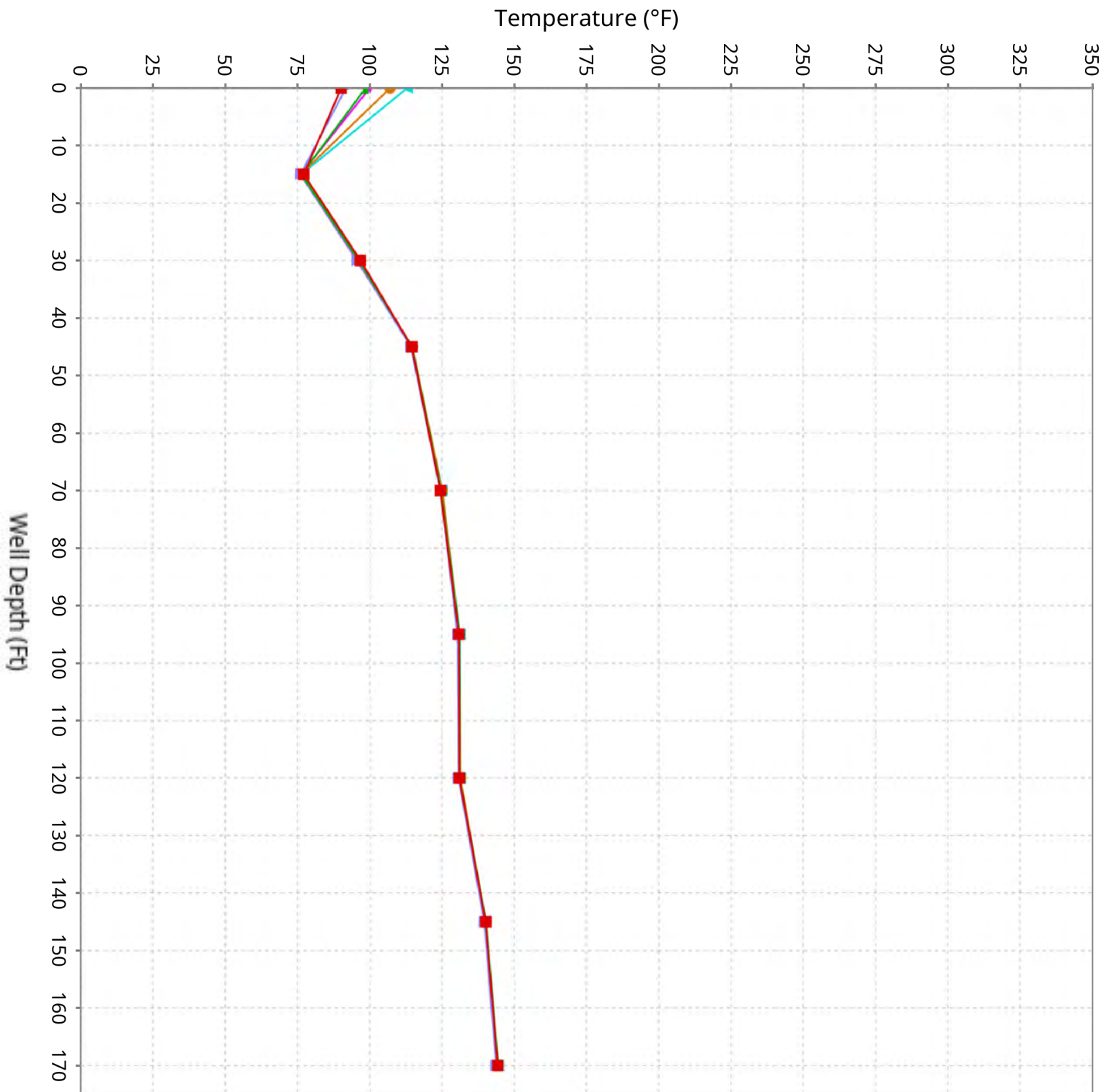
Vertical Temperature Profiles from Temperature Probes at Chiquita Landfill for TP-27

Maximum data for 2/19/2026 to 4/1/2026



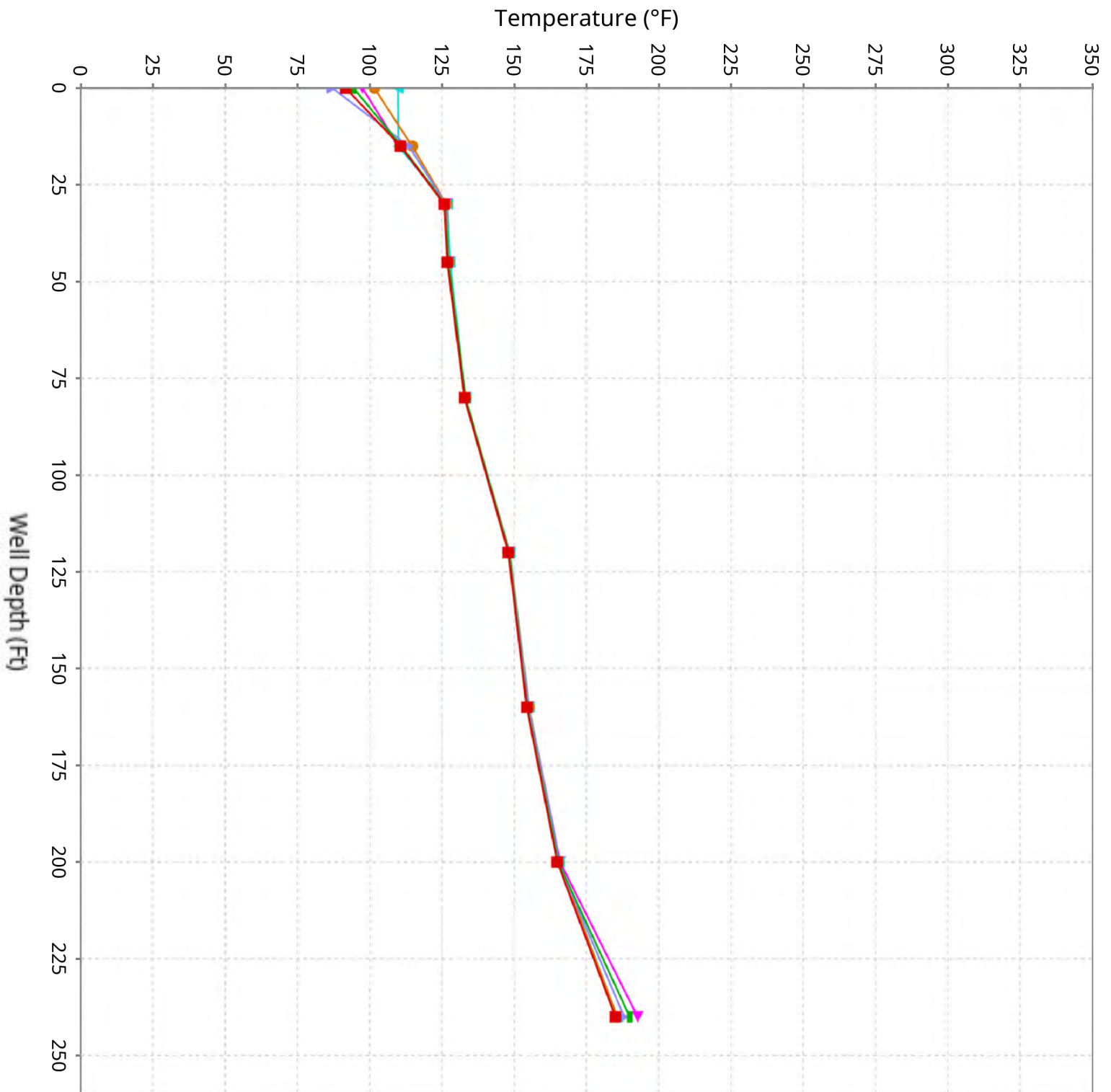
Vertical Temperature Profiles from Temperature Probes at Chiquita Landfill for TP-28

Maximum data for 2/19/2026 to 4/1/2026



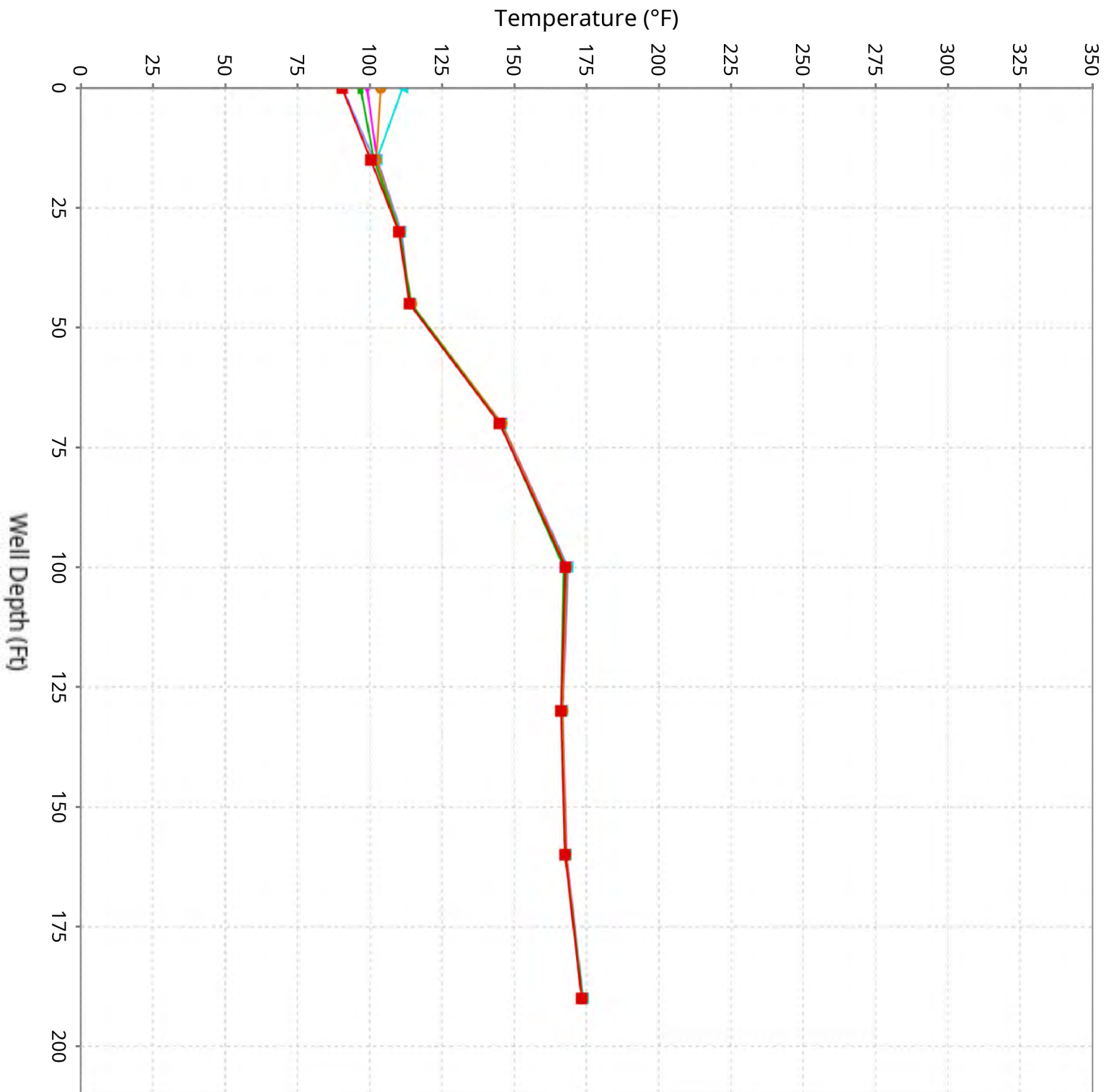
Vertical Temperature Profiles from Temperature Probes at Chiquita Landfill for TP-29

Maximum data for 2/19/2026 to 4/1/2026



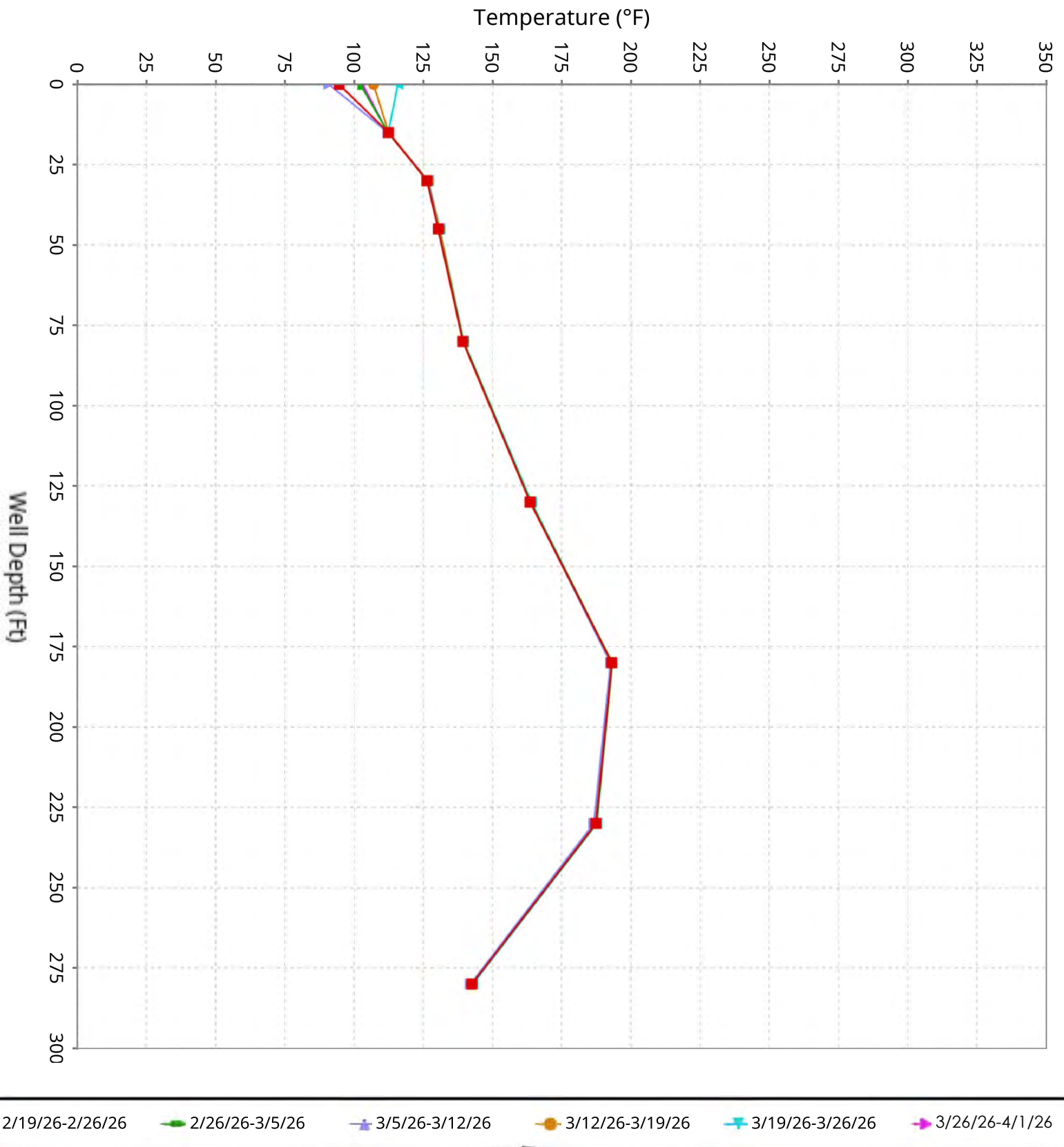
Vertical Temperature Profiles from Temperature Probes at Chiquita Landfill for TP-30

Maximum data for 2/19/2026 to 4/1/2026



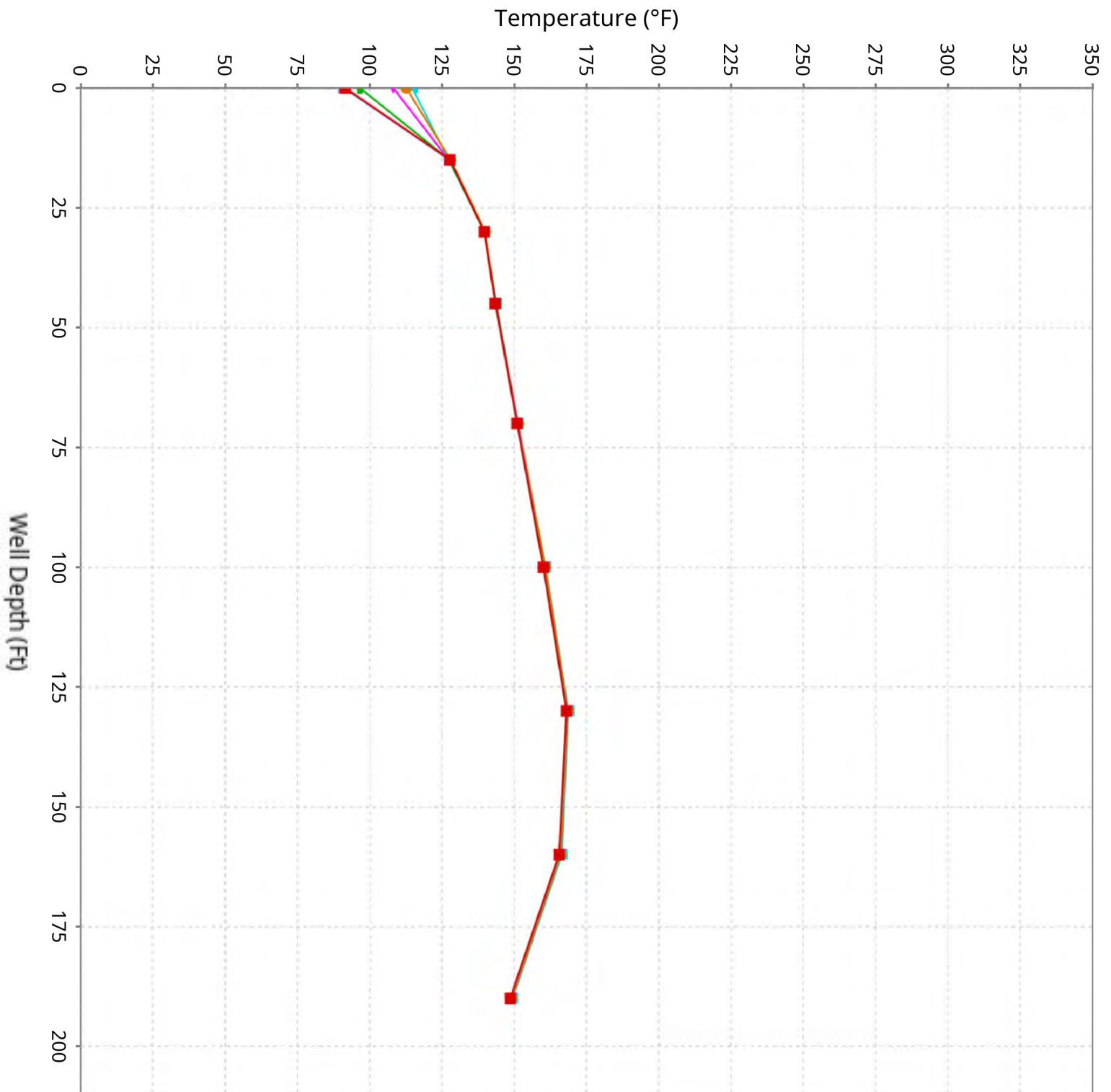
Vertical Temperature Profiles from Temperature Probes at Chiquita Landfill for TP-31

Maximum data for 2/19/2026 to 4/1/2026



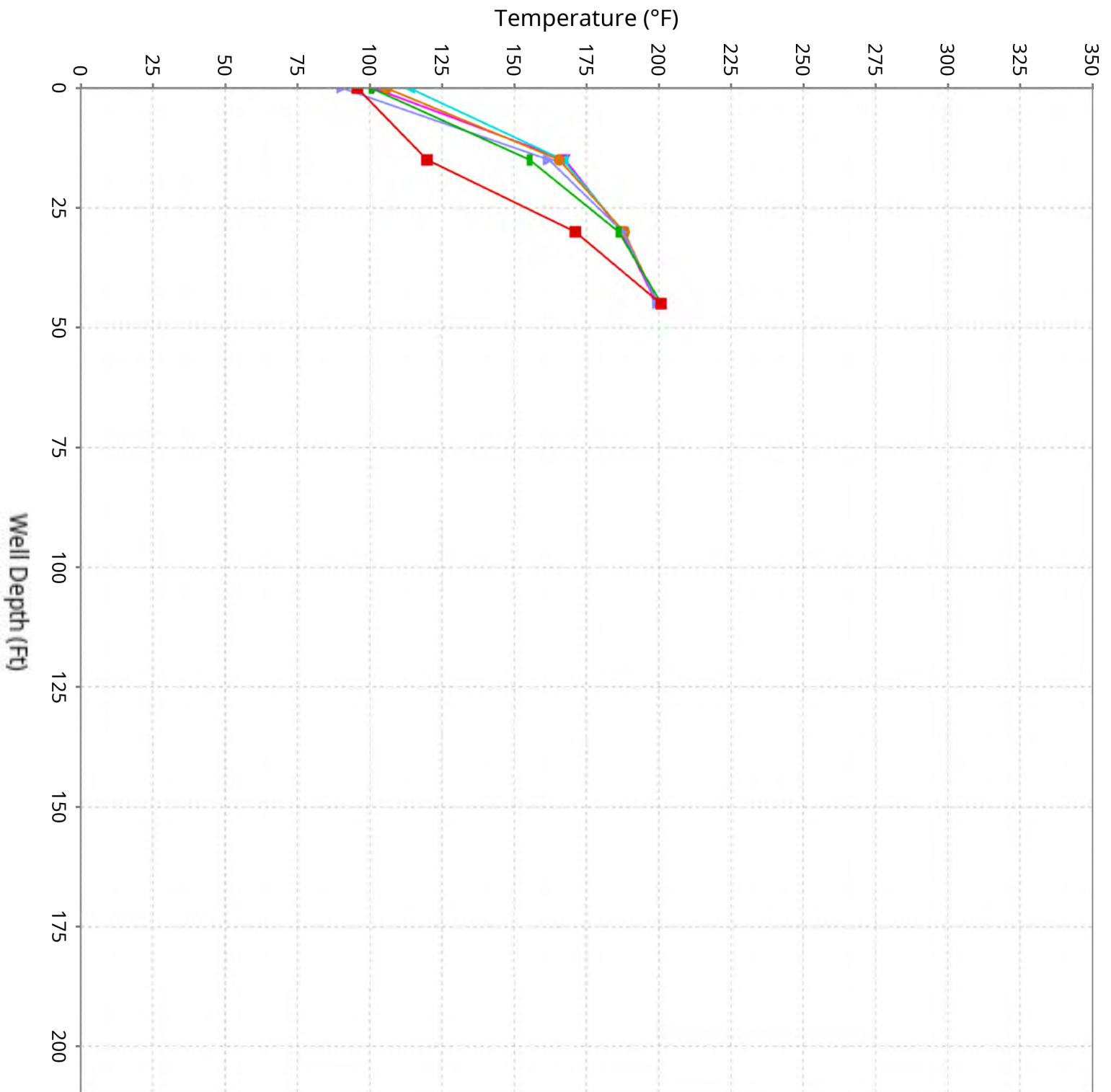
Vertical Temperature Profiles from Temperature Probes at Chiquita Landfill for TP-32

Maximum data for 2/19/2026 to 4/1/2026



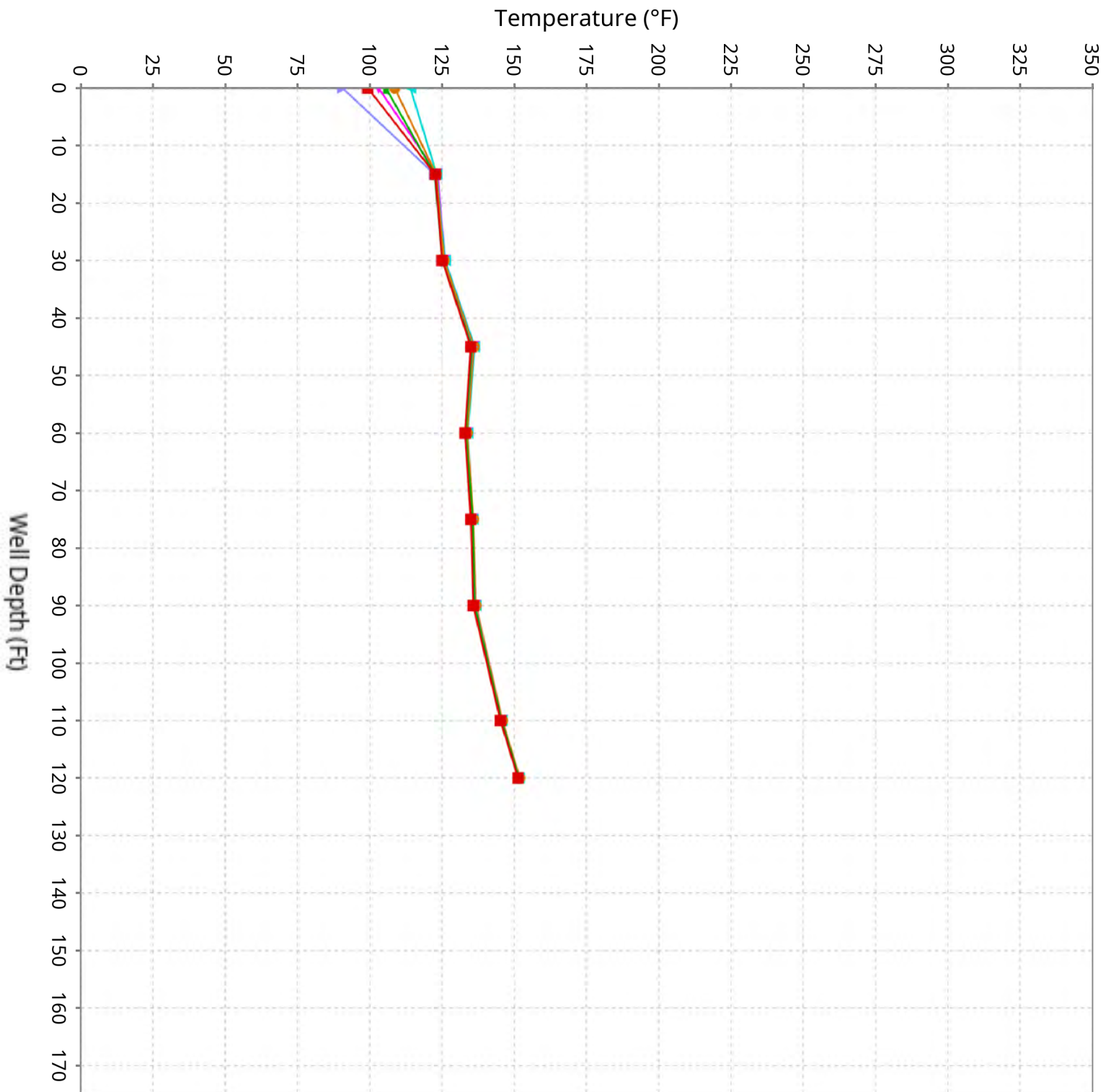
Vertical Temperature Profiles from Temperature Probes at Chiquita Landfill for TP-33

Maximum data for 2/19/2026 to 4/1/2026



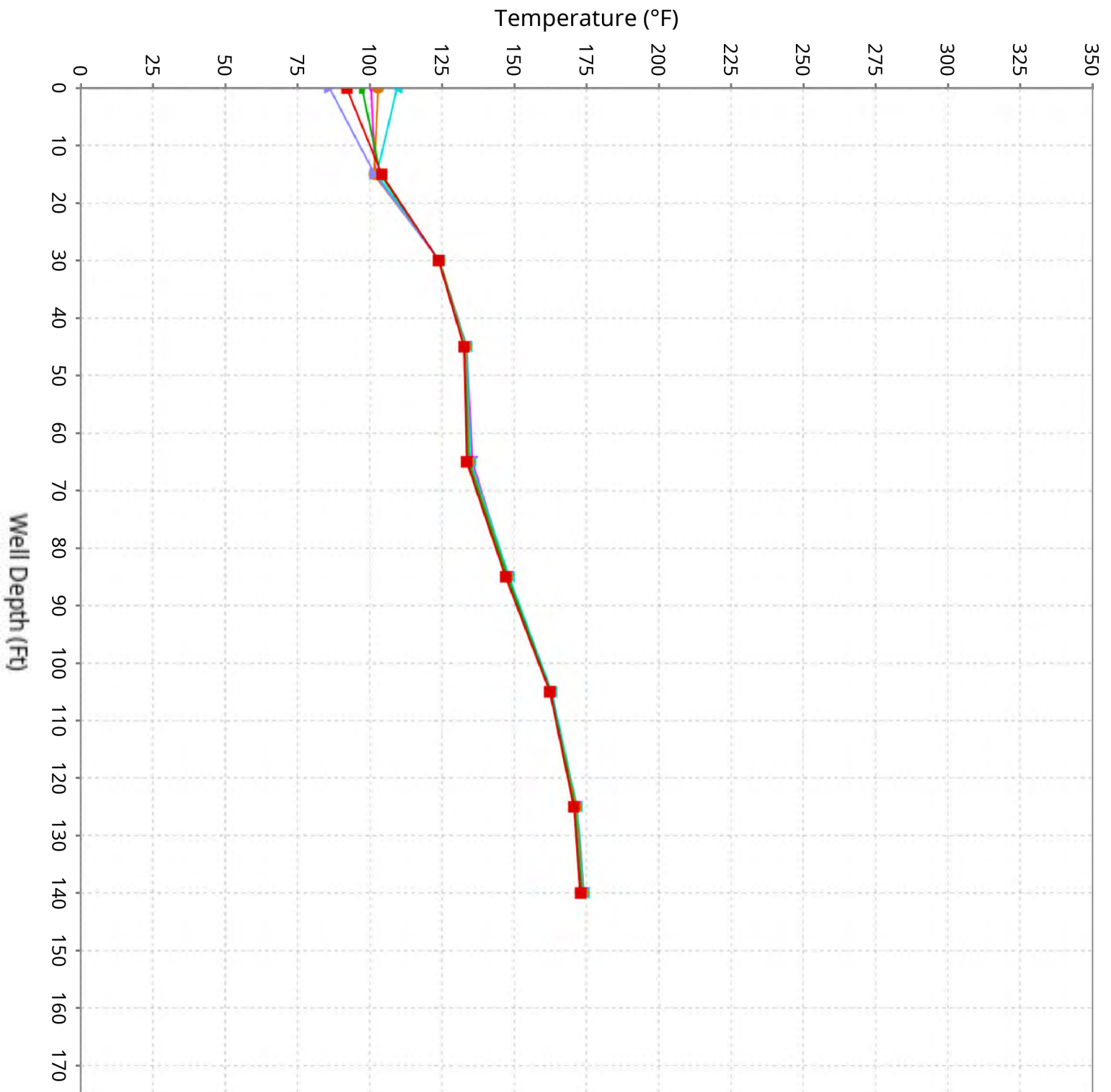
Vertical Temperature Profiles from Temperature Probes at Chiquita Landfill for TP-34

Maximum data for 2/19/2026 to 4/1/2026



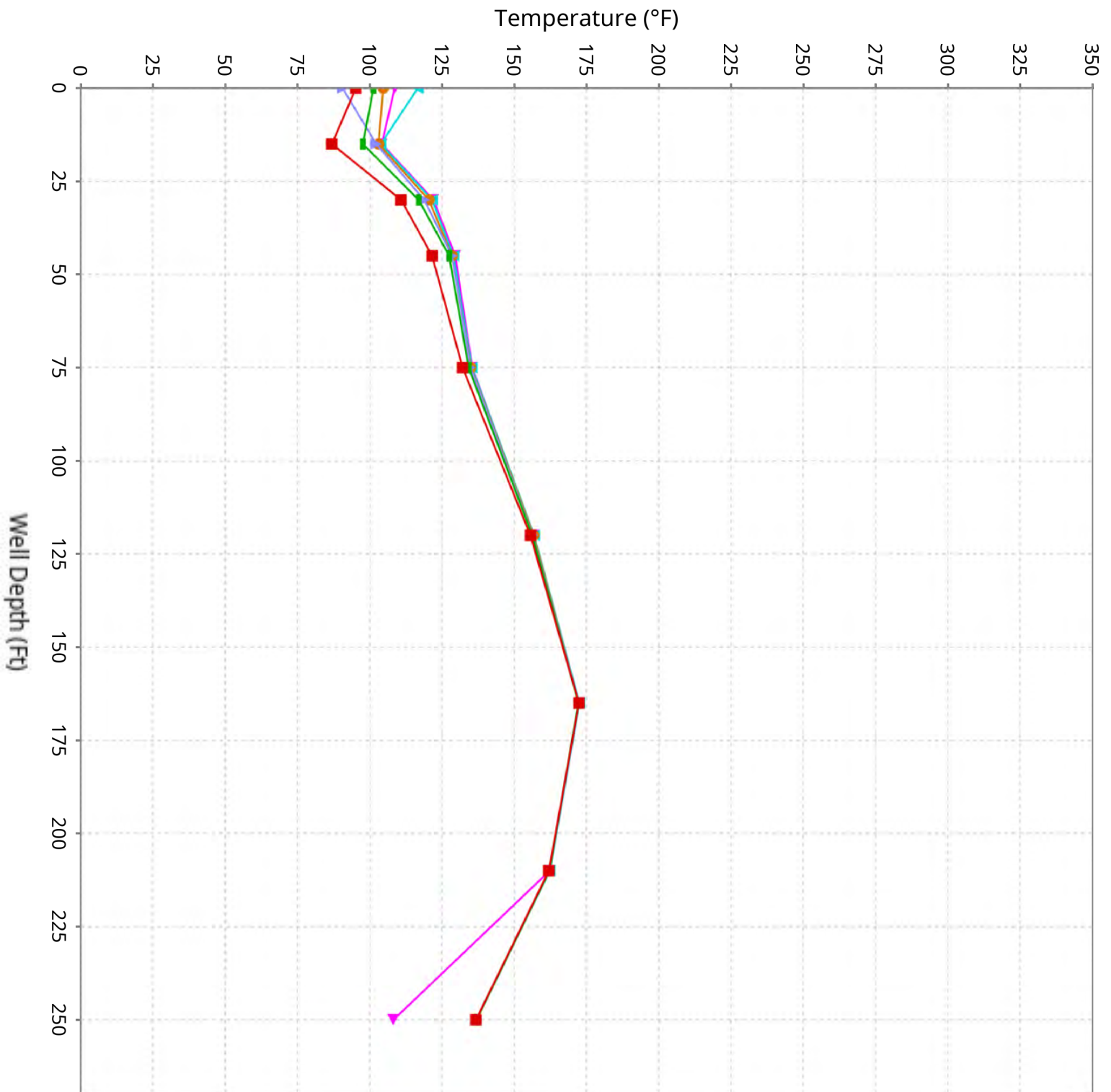
Vertical Temperature Profiles from Temperature Probes at Chiquita Landfill for TP-35

Maximum data for 2/19/2026 to 4/1/2026



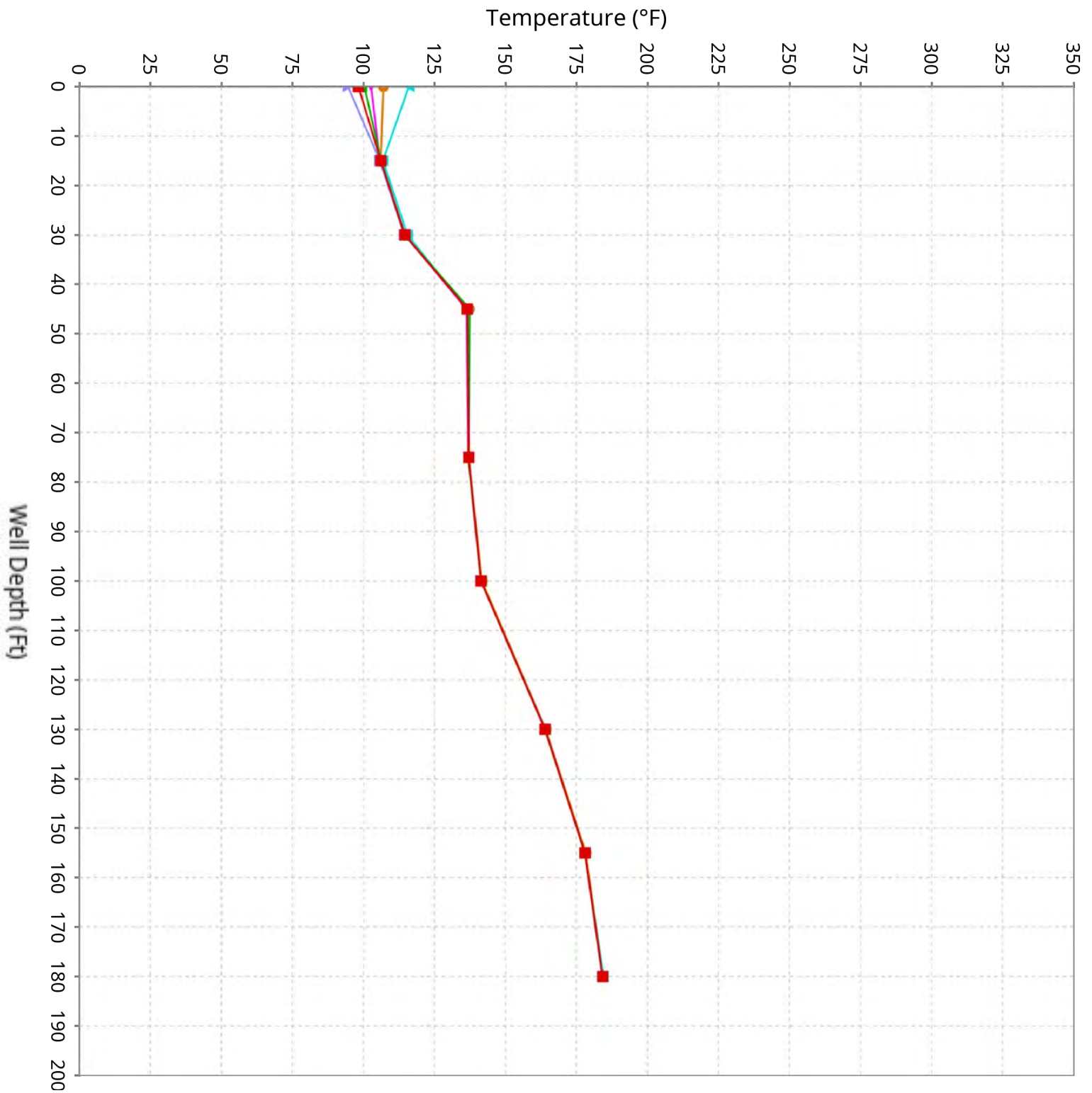
Vertical Temperature Profiles from Temperature Probes at Chiquita Landfill for TP-36

Maximum data for 2/19/2026 to 4/1/2026



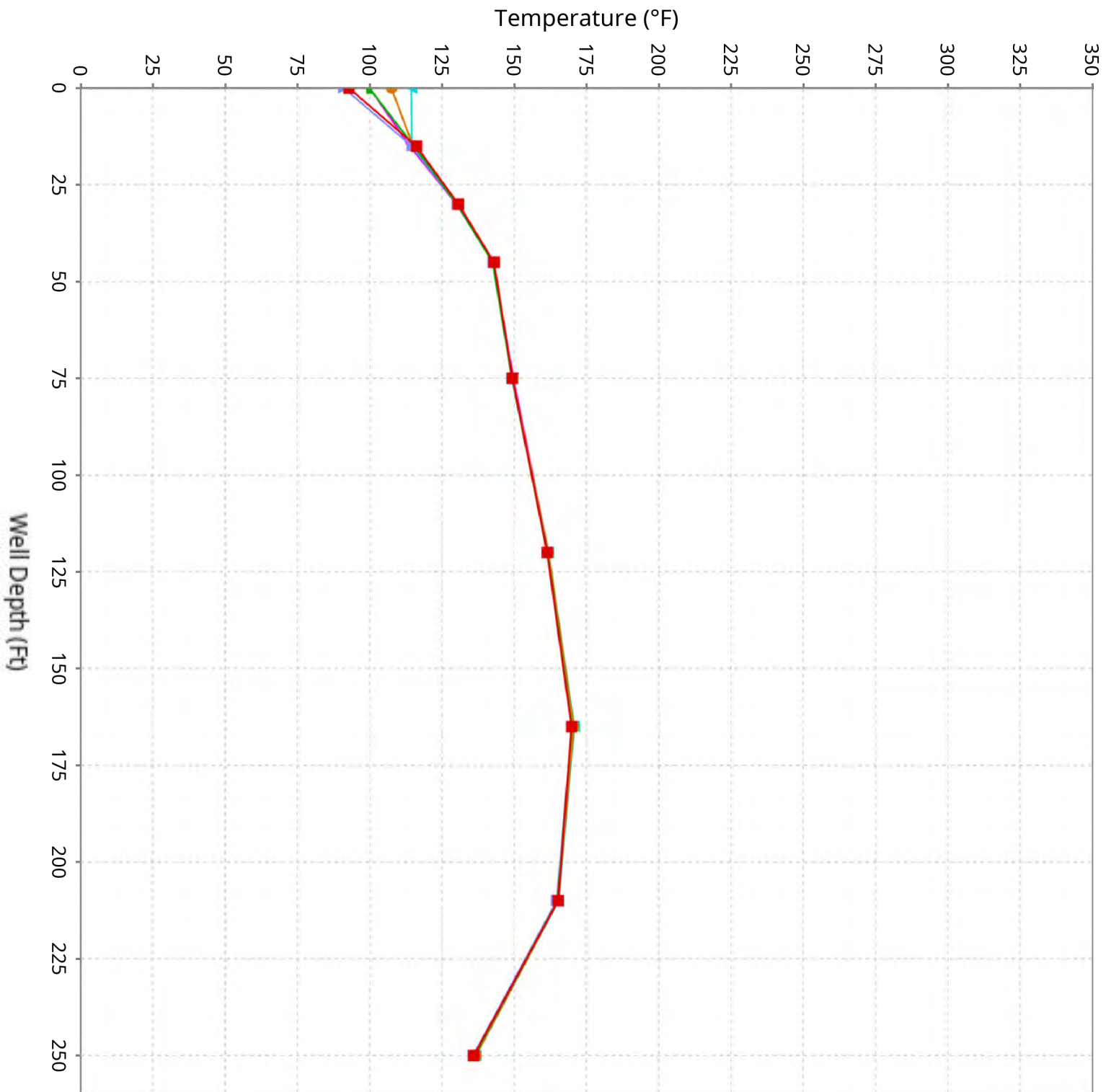
Vertical Temperature Profiles from Temperature Probes at Chiquita Landfill for TP-37

Maximum data for 2/19/2026 to 4/1/2026



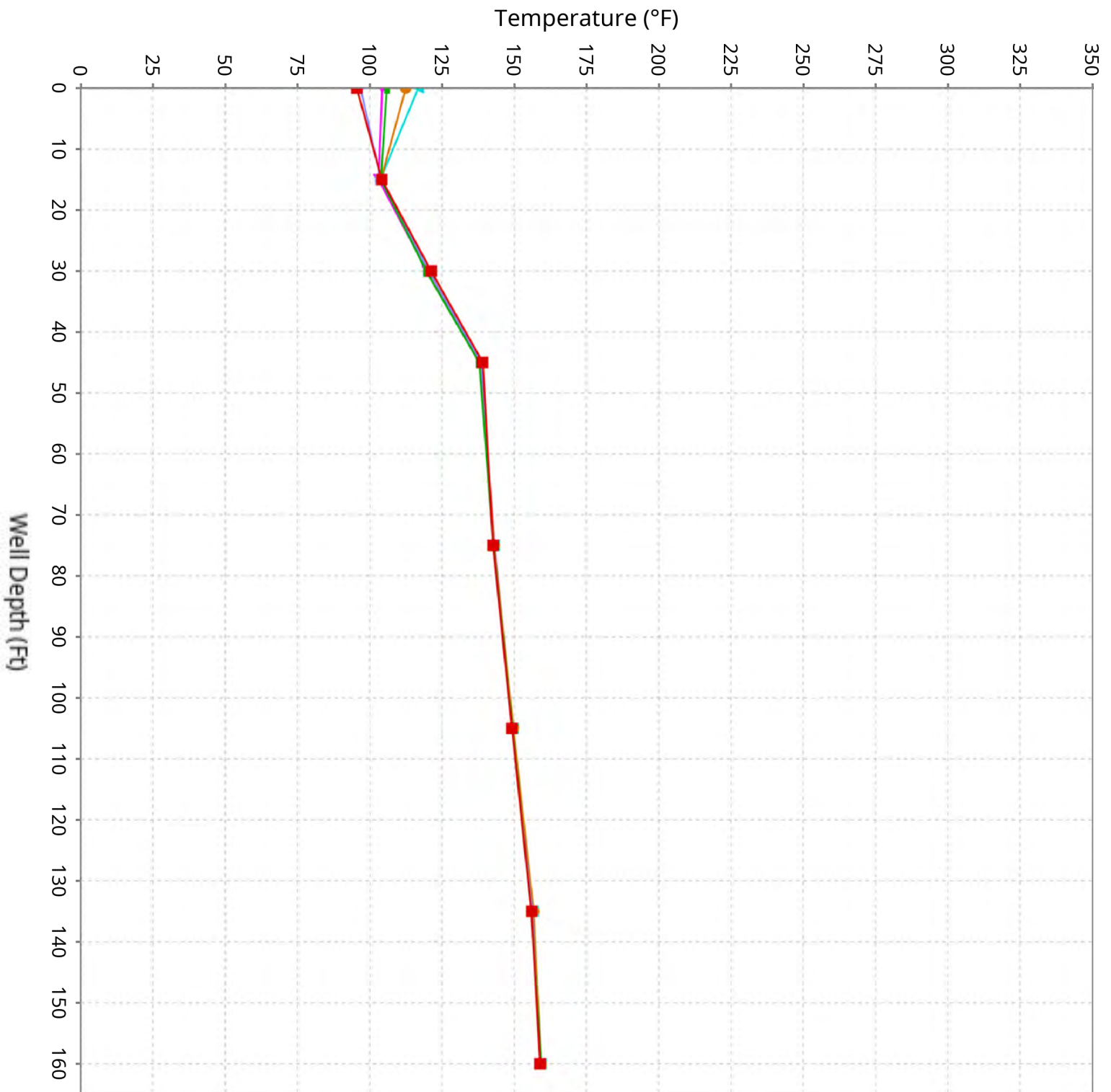
Vertical Temperature Profiles from Temperature Probes at Chiquita Landfill for TP-38

Maximum data for 2/19/2026 to 4/1/2026



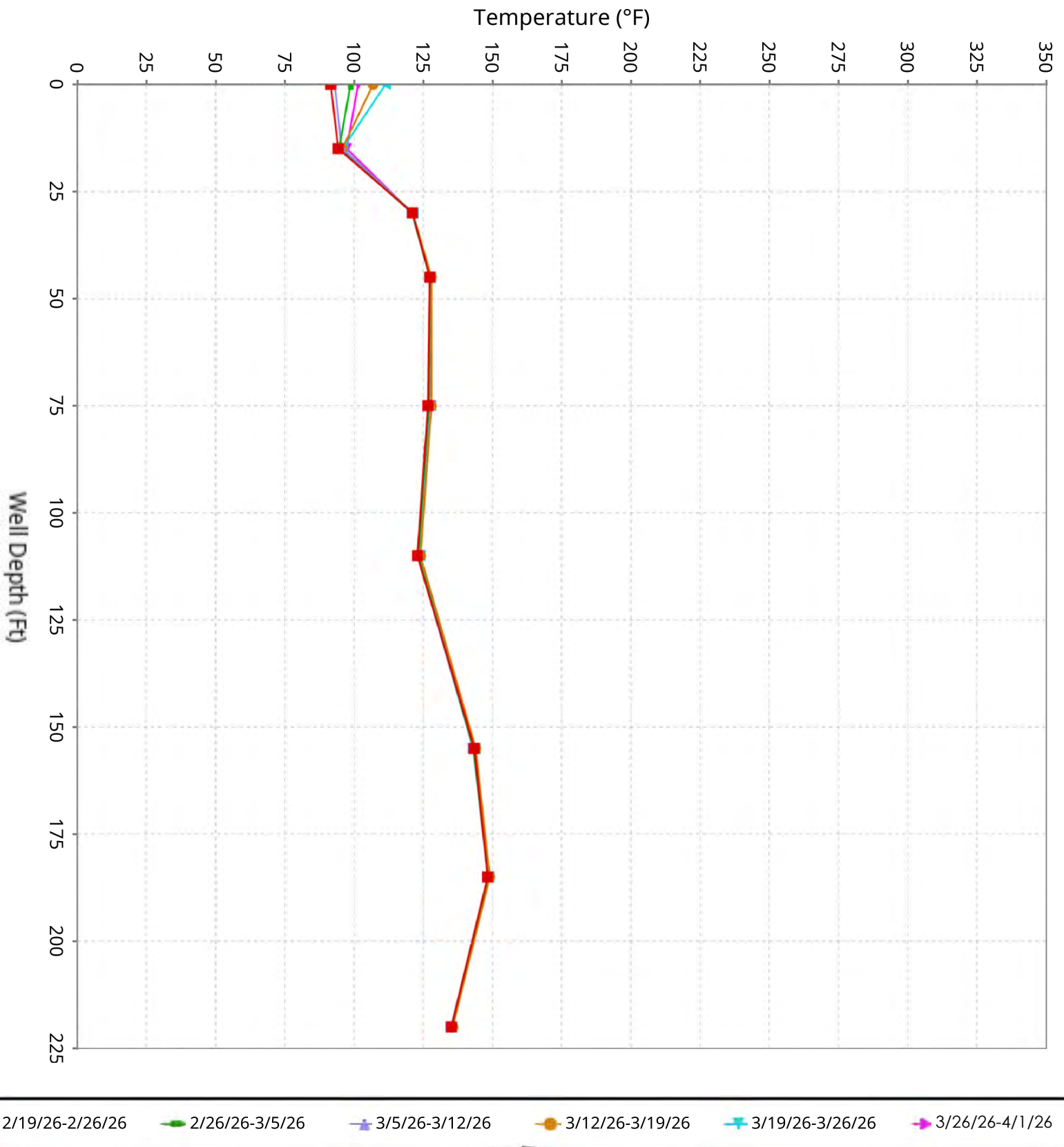
Vertical Temperature Profiles from Temperature Probes at Chiquita Landfill for TP-39

Maximum data for 2/19/2026 to 4/1/2026

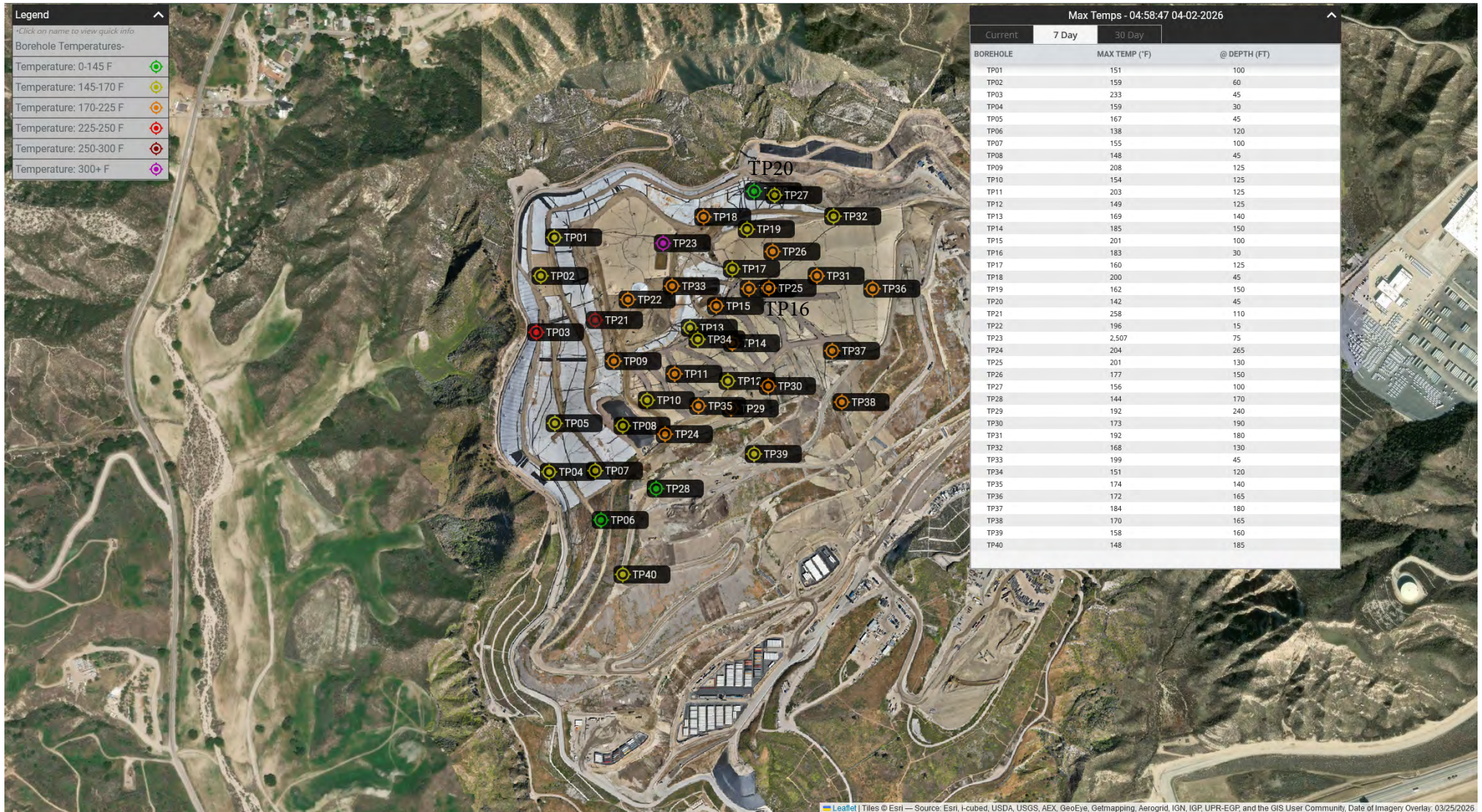


Vertical Temperature Profiles from Temperature Probes at Chiquita Landfill for TP-40

Maximum data for 2/19/2026 to 4/1/2026

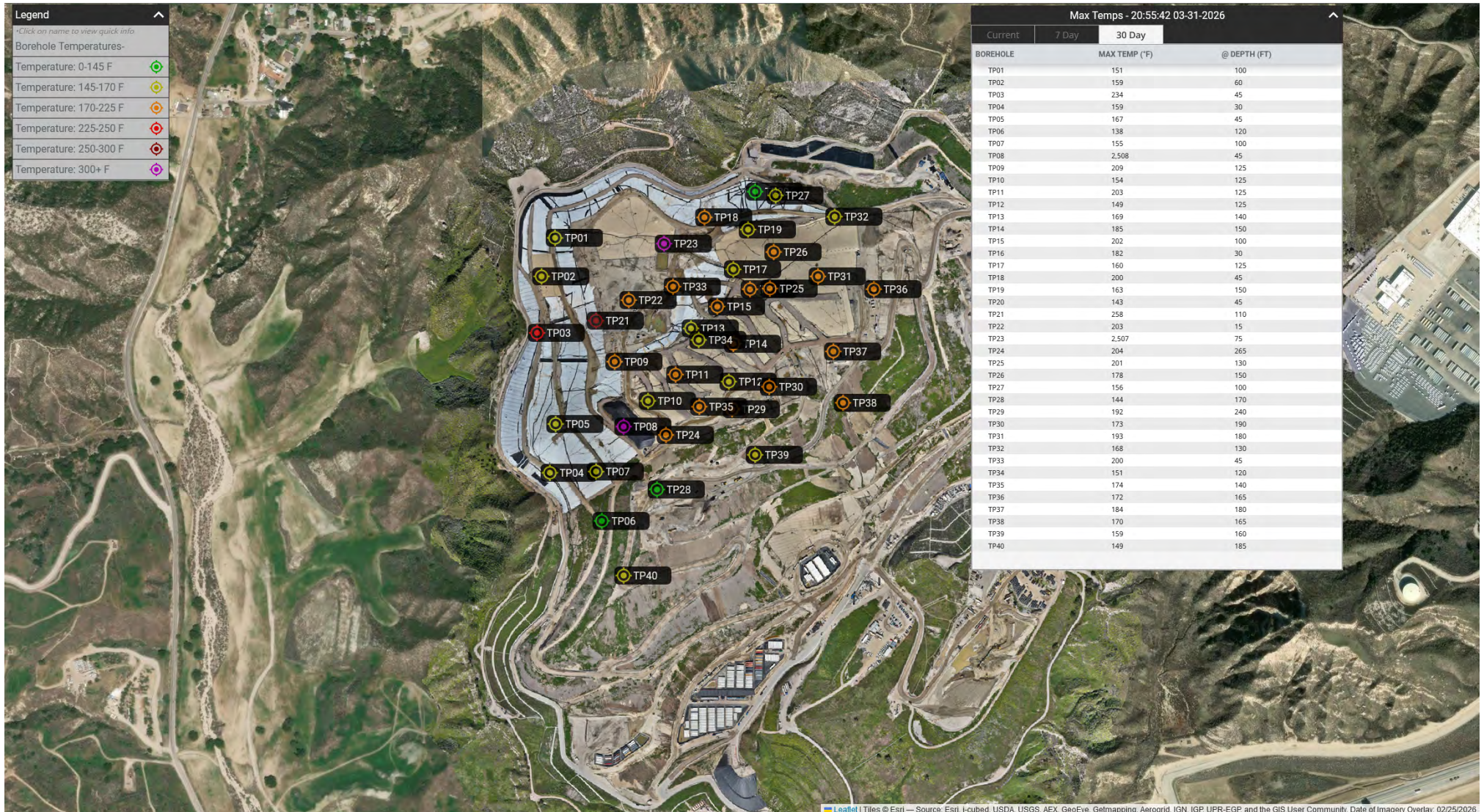


Maximum Vertical Temperature Map from Temperature Probes at Chiquita Landfill



*TP-23 reported maximum values of 2,508 degrees F on March 31, 2026. These readings are erroneous due to the probe being offline for repair.

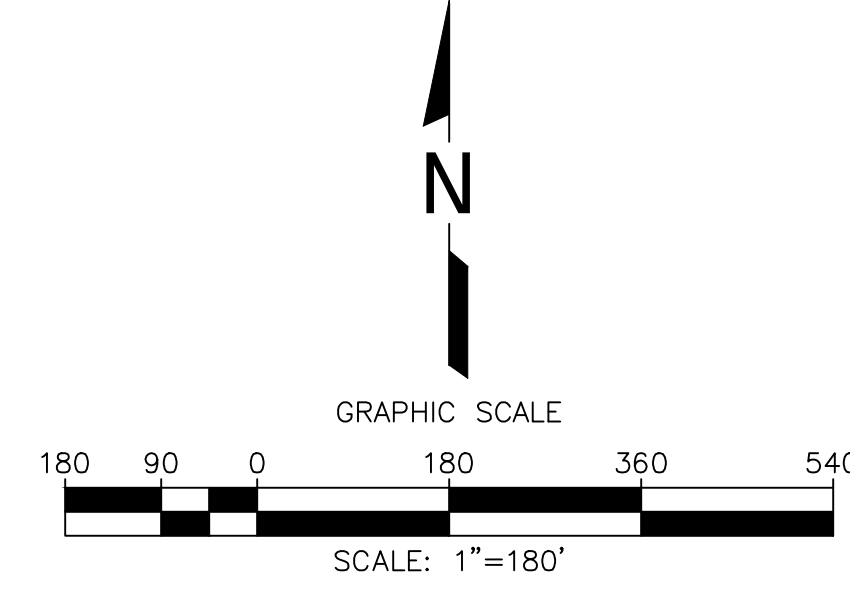
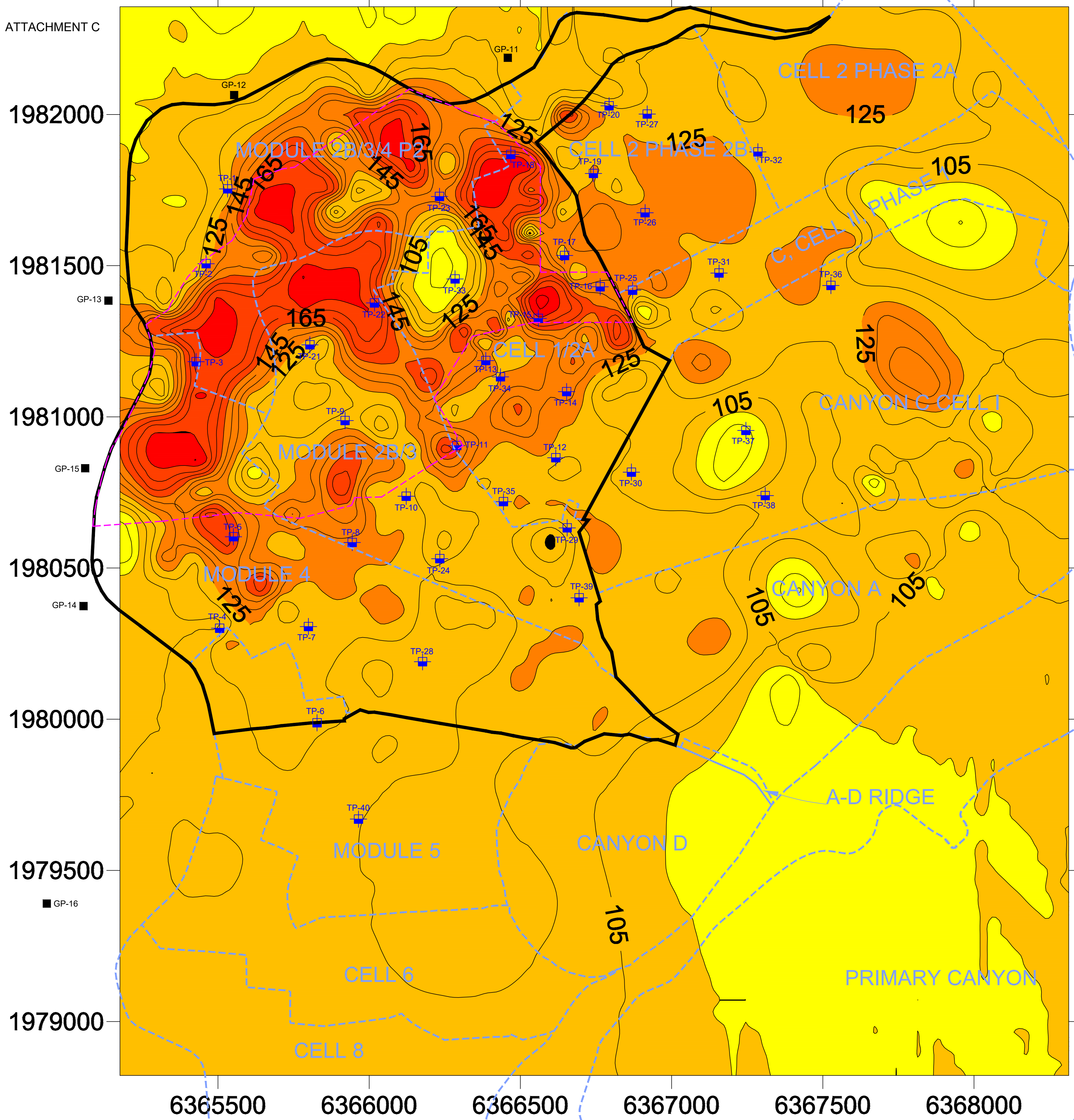
Thirty Day Maximum Vertical Temperature Map from Temperature Probes at Chiquita Landfill



TP-8 and TP-23 reported maximum values of 2,507 and 2,508 degrees F on March 8th, and March 31st. These readings are erroneous due to TP-08 and TP-23 being off-line for inspection/repair.

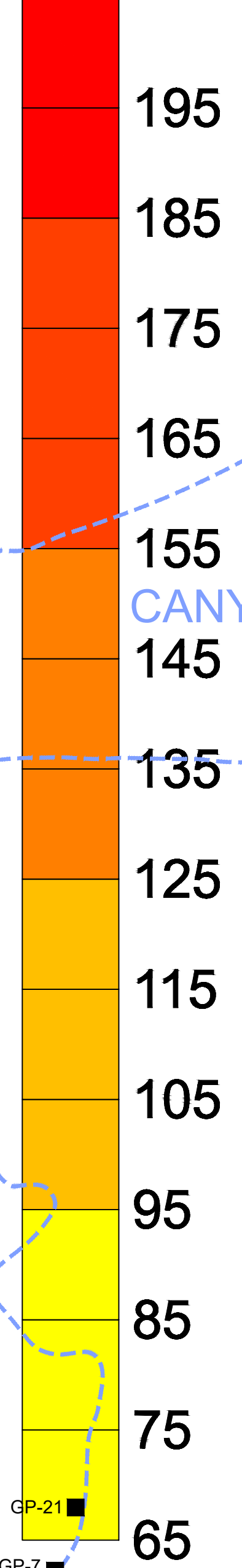
ATTACHMENT C

A
B
C
D
E
F
G
H
I
J
K



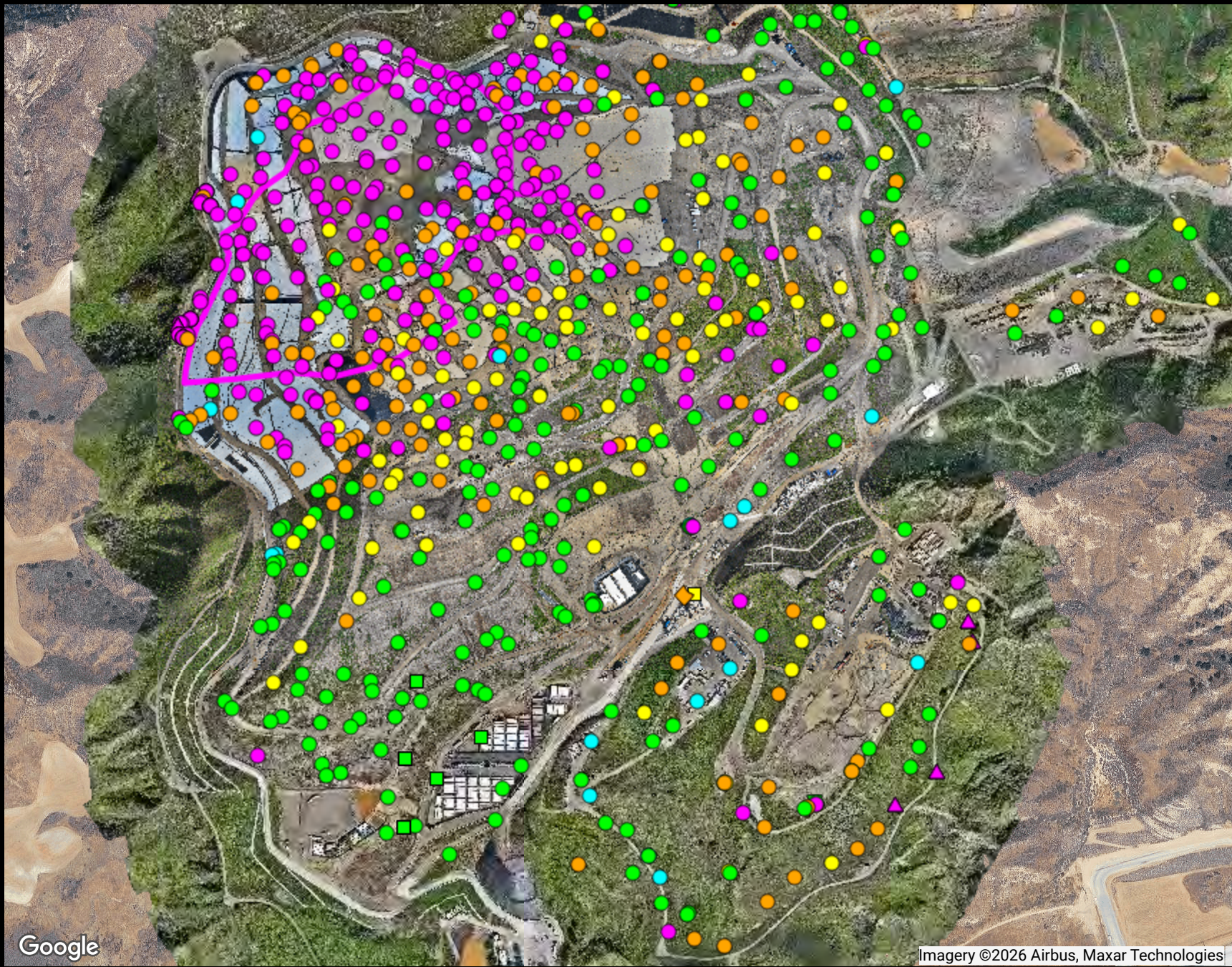
LEGEND

- - - - EXISTING CELL LIMITS (APPROXIMATE)
- - - - REACTION AREA BOUNDARY (APPROXIMATE) - BASED ON DATA REVIEW
- REACTION AREA BOUNDARY - CONDITION 9A
- GP-XX EXISTING PERIMETER MIGRATION PROBE
- ⊕ TP-XX EXISTING TEMPERATURE PROBE



F:\Engineers\Waste_Connections\Chiquita_Canyon_LF\2026_Temp_Probe_Data\Isothermal_Gradient_Maps\03-March_2026_V1.0_2026-04-10.dwg, Apr. 10, 2026 - 6:22am, By: sreedina

DATE	
REVISION	
NO.	
SHEET TITLE: ISOTHERMAL GRADIENT MAP MARCH 2026	PROJECT TITLE: CHIQUITA CANYON LANDFILL CASTAIC, CALIFORNIA
CLIENT: SCS ENGINEERS ENVIRONMENTAL CONSULTANTS 3800 ALABAMA AVE, SUITE 300 LONG BEACH, CA 90808 PH: (562) 428-9544	CHIQUITA CANYON LANDFILL CASTAIC, CALIFORNIA
DATE: 04/10/2026	SCALE: AS SHOWN
SHEET: 1	GENERAL DRAWING NOTES: 1. NORTH ARROW SHOWN HERE IS REFERENCE TO THE CALIFORNIA STATE PLANE ZONE V COORDINATE SYSTEM, NAD 83.



Ranges Mapped

	# Points
● ≥ 0 and < 0.5	330
● ≥ 0.5 and < 0.9	163
● ≥ 0.9 and < 1.1	107
● ≥ 1.1 and < 1.5	246
● ≥ 1.5 and < 101	20

Point Type Legend

- ▽ calibration record
- ◇ flare-engine-ghg
- △ monitoring probe
- sample port
- well

Google

Imagery ©2026 Airbus, Maxar Technologies

ATTACHMENT D

Chiquita Canyon Landfill

Range Map

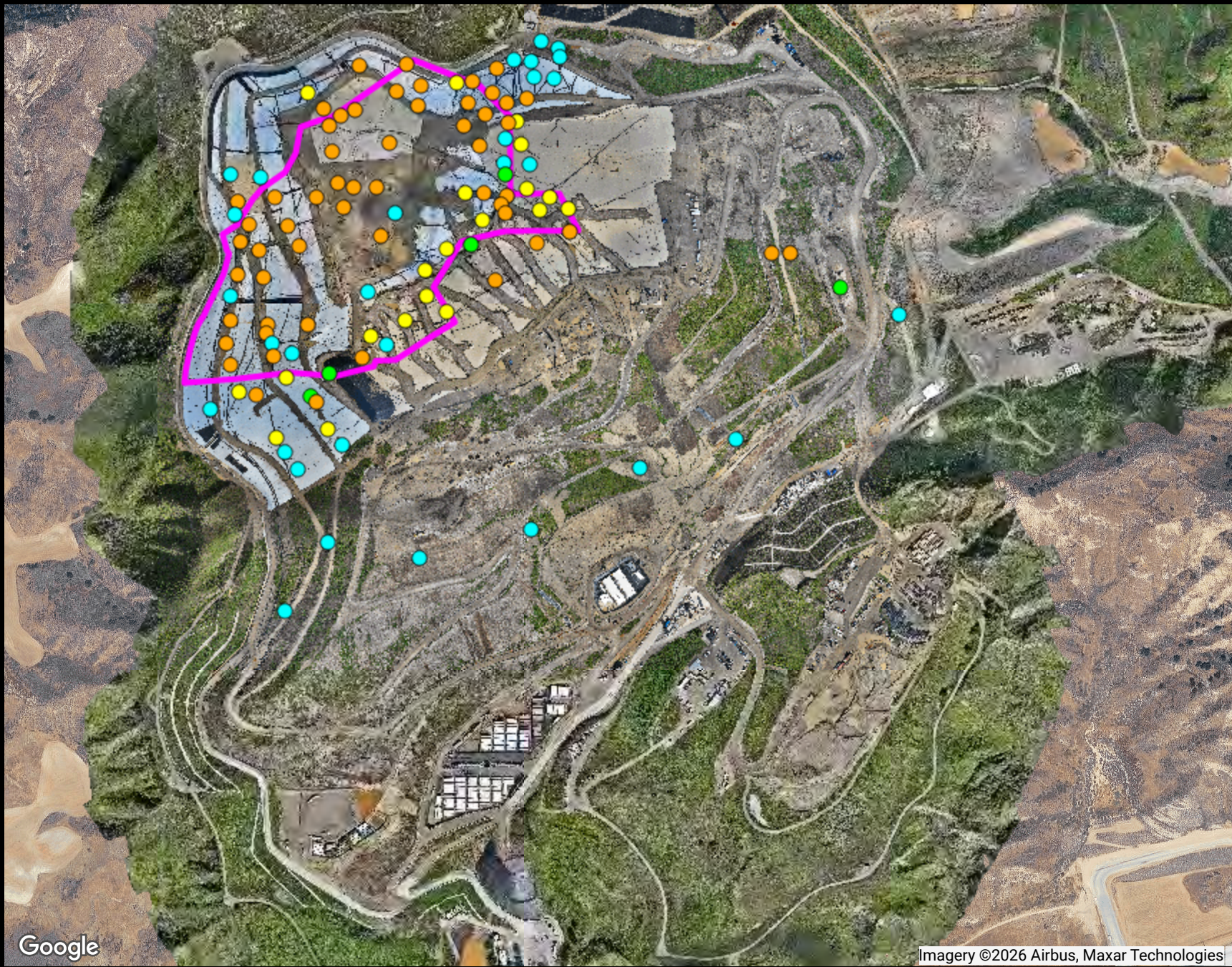
Parameter: CH₄/CO₂ Ratio (high range)

Analysis Method: MostRecent

Date Range: 03/01/2026 - 03/31/2026

Map generation date : 04/10/2026





Ranges Mapped

			# Points
■	>= 0	and < 20000	30
■	>= 20000	and < 50000	5
■	>= 50000	and < 100000	20
■	>= 100000	and < 999999	55

The range values noted above are in units of parts per million (ppm). Divide by 10,000 to convert these values to units of percent by volume.

Point Type Legend

- ▽ calibration record
- ◇ flare-engine-ghg
- △ monitoring probe
- sample port
- well

Google

Imagery ©2026 Airbus, Maxar Technologies

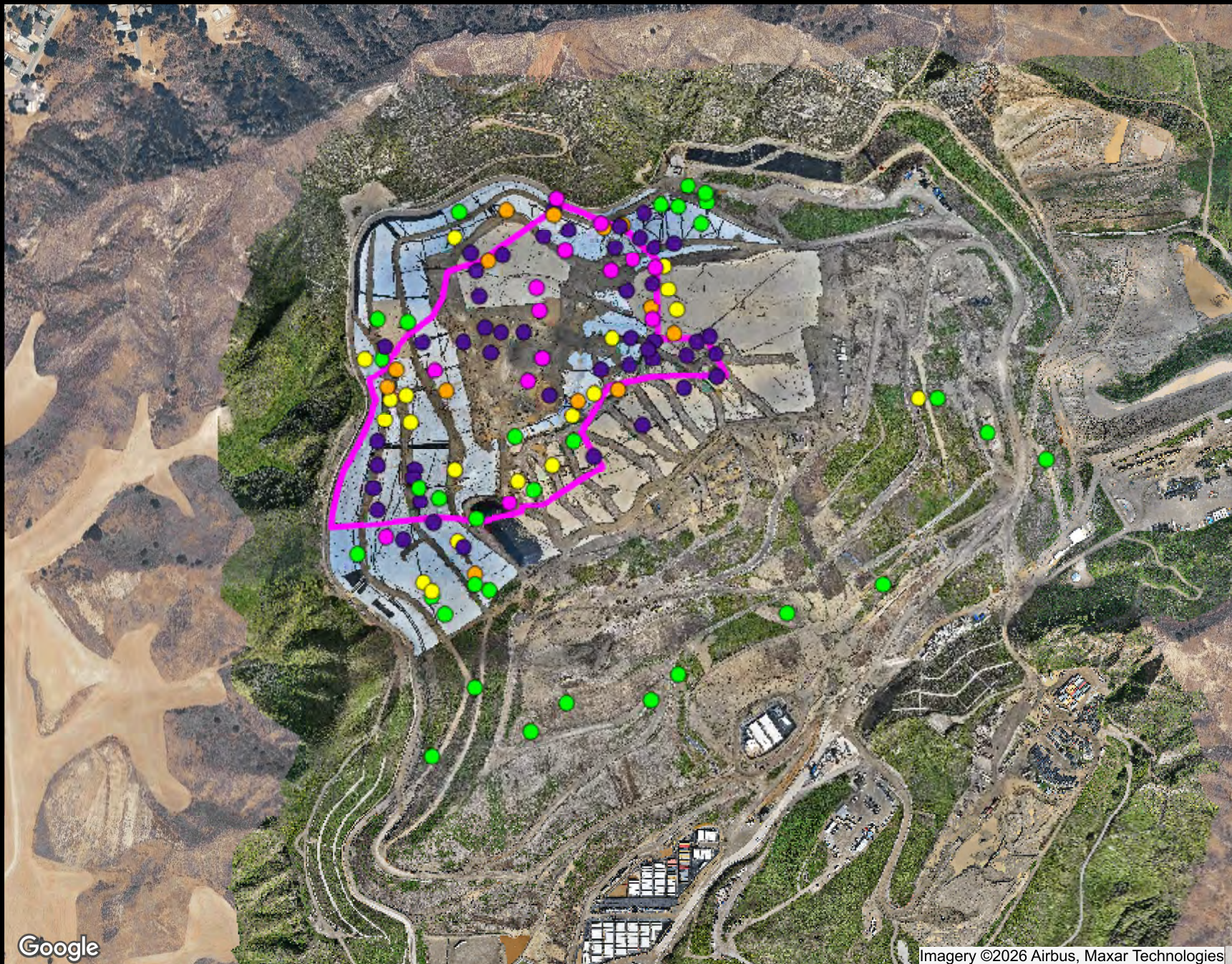
ATTACHMENT E

**Chiquita Canyon Landfill
Range Map
Parameter: H2 (mid range)
Analysis Method: MostRecent**

Date Range: 03/01/2026 - 03/31/2026

Map generation date : 04/10/2026





Ranges Mapped

			# Points
Green	>= 0	and < 500	32
Yellow	>= 500	and < 1000	19
Orange	>= 1000	and < 1500	13
Pink	>= 1500	and < 2000	14
Purple	>= 2000	and < 1000000	47

Point Type Legend

○ well

Google

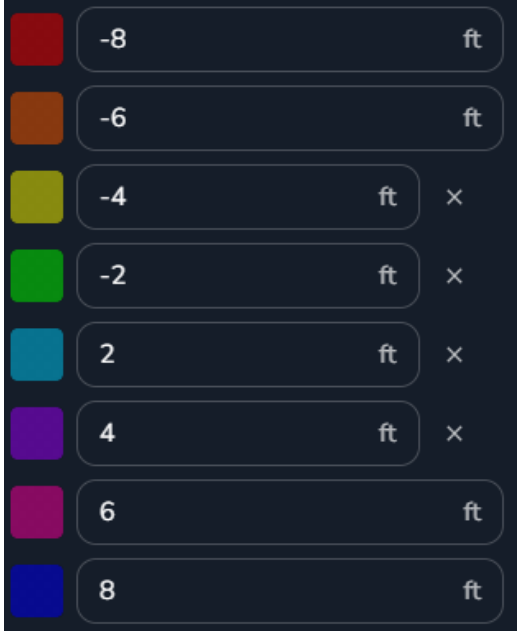
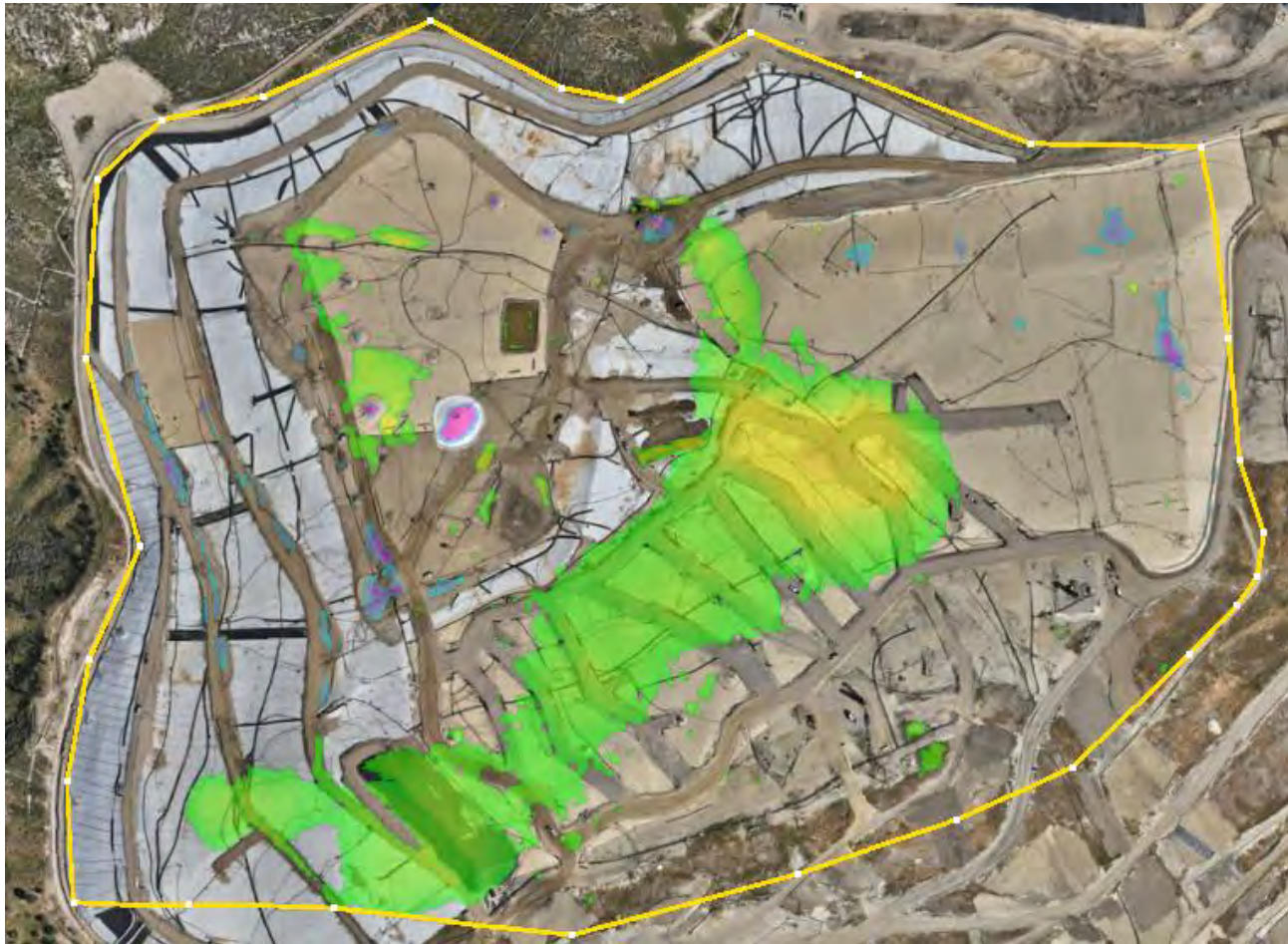
Imagery ©2026 Airbus, Maxar Technologies

ATTACHMENT F

Chiquita Canyon Landfill
Range Map
Parameter: CO LAB (mid range)
Analysis Method: Average
 Date Range: 03/01/2026 - 03/31/2026
 Map generation date : 04/08/2026



Chiquita Canyon Landfill – Quarterly Isopach



March 25, 2026 Survey Image. January 07, 2026 vs March 25, 2026